



7
24

**Universidad Nacional Autónoma
de México**



**FACULTAD DE ESTUDIOS SUPERIORES
CUAUTITLÁN**

**“ APLICACION DE CONTROL AVANZADO EN UNA COLUMNA DE
DESTILACION POR MEDIO DE UN SISTEMA DE CONTROL
DISTRIBUIDO ”**

T E S I S

**PARA OBTENER EL TITULO DE:
INGENIERO MECANICO ELECTRICISTA
P R E S E N T A N :
GARCIA ADABACHE ARMANDO (8137040-3)
SANCHEZ MONTES ISRAEL GERARDO (8119668-9)**

**Director de Tesis
ING. JORGE BUENDIA GOMEZ**

**TESIS CON
FALLA DE ORIGEN**

Cuautitlán Izcalli, Méx.

1 9 9 1



Universidad Nacional
Autónoma de México



UNAM – Dirección General de Bibliotecas Tesis Digitales Restricciones de uso

DERECHOS RESERVADOS © PROHIBIDA SU REPRODUCCIÓN TOTAL O PARCIAL

Todo el material contenido en esta tesis está protegido por la Ley Federal del Derecho de Autor (LFDA) de los Estados Unidos Mexicanos (México).

El uso de imágenes, fragmentos de videos, y demás material que sea objeto de protección de los derechos de autor, será exclusivamente para fines educativos e informativos y deberá citar la fuente donde la obtuvo mencionando el autor o autores. Cualquier uso distinto como el lucro, reproducción, edición o modificación, será perseguido y sancionado por el respectivo titular de los Derechos de Autor.

CONTENIDO

	Página
Introducción	1
I. Descripción de la Columna de Destilación Binaria	9
I.1 Modelo de conocimiento de la Columna	10
I.2 Modelo Simplificado de la Columna Binaria	14
1.2.1 Identificación del Modelo no Lineal Simple	18
1.3.1 Observabilidad	30
Comentarios	35
II. Observabilidad en Sistemas Dinámicos	36
II.1 Concepto de Observabilidad	36
II.2 Síntesis de Observadores para Sistemas no Lineales	41
II.3 Observadores Asintóticos para Sistemas Bilineales	34
Comentarios	46

III. El Observador Bilineal Asintótico para el Modelo no Lineal Simplificado de la Columna	47
III.1 Un Modelo Bilineal	48
III.2 Un Observador Asintótico	55
III.3 Un Observador Lineal	63
III.3.1 Linealización del MNLS	63
III.3.2 Diseño del Observador Lineal	69
III.4 Realización y pruebas del Observador Bilineal Asintótico	81
Comentarios	84
IV. Implementación del Observador en un esquema de Control Distribuido	85
IV.1 Una Ley de control para rechazo a Perturbaciones en Sistemas no Lineales	87
IV.2 Aplicación a una Columna de Destilación	97
IV.3 Introducción del Observador Asintótico en el Esquema de Control Realimentado	115
Resultados y Comentarios	116

Conclusiones y Perspectivas	119
Apendice 1	123
Apendice 2	125
Apendice 3	132
Bibliografía	139

INTRODUCCION

En los últimos años, el control de procesos petroquímicos ha adquirido una gran importancia. Para el caso de columnas de destilación, es de especial interés, la aplicación de técnicas de control debido principalmente a los siguientes puntos:

1.- Se requiere mantener la calidad de los productos dentro de cierto rango de especificaciones. Al tratar de conseguir cierta pureza en los productos de la columna, no se considera normalmente el consumo de energía, siendo éste factor importante, ya que un 40% de la energía consumida por una planta se emplea en la destilación [1].

2.- Las columnas son procesos sensibles a condiciones de operación tales como: variaciones en la temperatura o en la presión, impurezas en la mezcla, etc.. Por otro lado las capacidades molares hacen que las columnas sean procesos con tiempo de respuesta grandes, de una a tres horas generalmente [2].

El objetivo principal en el control de una columna de destilación es mantener la composiciones líquidas del flujo destilado (en el condensador) y de flujo residuo (en calderín) en sus valores nominales de operación.

En la práctica, el control de una columna de destilación se hace por medio de lazos locales de regulación. En realidad hay una gran variedad de combinaciones entre las variables de temperatura, presión, potencia de calentamiento, reflujo, flujo destilado y flujo residuo (variables de las cuales dependen las composiciones líquidas de salida), con las que se puede controlar las composiciones líquidas en el condensador y en el calderín. Sin embargo, el esquema más eficiente es el que utiliza la potencia de calentamiento (Q_b), y el reflujo (L_o). [2, 3, 1]

Una técnica de control muy extendida consiste en mantener constantes la razón entre el reflujo y el flujo de alimentación (L_o/L_f), y la razón entre la potencia de calentamiento y el flujo de alimentación (Q_b/L_f), por medio de controles retroalimentados. Al mantener constantes estas relaciones se regula el factor de separación, con lo cual se pueden mantener constantes las composiciones líquidas del destilado y del residuo. [1, 3]

Por otro lado el control convencional presenta varias desventajas, entre las cuales se puede mencionar:

- La calidad del control depende del operador.
- La influencia de la potencia de calentamiento (Q_b) sobre la composición líquida del condensador y del reflujo (L_o) sobre la composición líquida del calderín no son tomados en cuenta, en muchos casos.
- El consumo de energía es poco eficiente.

- No existen criterios definidos para la eliminación de perturbaciones.

En contraste, al enfoque del control moderno se fundamenta en el hecho de mantener constantes las composiciones líquidas en el condensador y el calderín de la columna, aunque el flujo y la composición de la alimentación de la columna varíen, aún si esta última composición no se conoce.

Para lograr esto, se han desarrollado, en los últimos años, distintos métodos como el arreglo de ganancias relativo [4, 5], que utiliza un modelo linealizado de la columna de destilación binaria junto con la aproximación geométrica de Wonhan [6] para diseñar una ley de control lineal por retroalimentación del estado que rechaza las perturbaciones.

Por otro lado, se han logrado mejoras importantes del esquema de control para rechazo a perturbaciones (PRP) con la extensión no lineal de Gauthier [7], la cuál está basada en la aproximación geométrica no lineal de Isidori [8].

Por otro lado, el problema de observabilidad en sistemas dinámicos es uno de los más importantes en la teoría del control. Se puede decir de manera general que el problema consiste en identificar la cantidad precisa de información acerca del estado del sistema y que está contenida en la salida medida de éste. Esto es, si se quiere saber si el mapeo de salida $h: X \rightarrow Y$ es uno a uno, donde X e Y son los espacios del estado y de la salida del sistema respectivamente. En forma más precisa, dado el sistema:

$$\dot{x} = f(x, u), \quad x(0) = x_0$$

$$y(t) = h(x),$$

si existe una entrada tal que, se quiere saber si el estado x_0 puede o no puede ser determinado en forma única a partir de la salida, $y(t)$, medida sobre cualquier intervalo $0 < t < t_1$. Si es así, se dice que x_0 es un estado observable.

Se puede decir que los problemas más importantes relacionados con la observabilidad de sistemas dinámicos son los siguientes:

- a) Encontrar un procedimiento matemático que pueda ser empleado para determinar aquellos estados que son observables.
- b) Caracterización matemática de la estructura del conjunto de estados observables.
- c) Hacer la conexión, si existe, entre conceptos de alcanzabilidad y observabilidad de procesos no lineales.
- d) Influencias de las restricciones del proceso observado sobre la estructura de los estados observables.

Ya que se requiere de la retroalimentación total del estado para sistemas de control con retroalimentación estática de éste, como generalmente no se cuenta con todo el vector de estado disponible, se requiere entonces de la estimación de

este vector o parte de él. Es por eso que es importante el poder observarlo o reconstruirlo.

En el caso lineal, la observabilidad y reconstructibilidad del estado puede ser encontrada fácilmente, mientras que el caso no lineal se introducen complicaciones matemáticas importantes, que requieren una gran cantidad de sofisticaciones matemáticas a resolver.

El problema es más fácil de resolver si se consideran procesos descritos por sistemas bilineales. Esto es, procesos descritos por la ecuación:

$$\dot{x} = A_0 x + \sum_{i=1}^p u_i A_i x + B u$$

$$y = C x$$

donde u_i es la i -ésima componente del vector u y A_0, \dots, A_p y B son matrices constantes. Muchos de los resultados importantes en teoría de sistemas lineales pueden aplicarse, con algunas modificaciones, a este caso.

Debido a ciertas propiedades de los observadores bilineales (estabilidad asintótica) que no existen en los observadores no lineales [43], se llevó a cabo en este trabajo el diseño y realización de un observador bilineal que es relativamente fácil de implementar a través de Sistema de Control Distribuido (SCD).

El objetivo principal de este trabajo es el de obtener un diseño y realización de un observador asintótico estable, para sistemas bilineales. Este observador se utilizó para la estimación de un proceso de destilación binario. Para llevar a cabo esto se hicieron algunas extensiones a los resultados de trabajos realizados por algunos investigadores [9].

Para la obtención del objetivo arriba mencionado se utilizó la siguiente metodología:

a) Se obtuvo un modelo no lineal simple (MNLS) de orden reducido de una columna de destilación binaria, el cual fué identificado y validado para un conjunto de entradas dado.

b) Puesto que la estimación del estado aglomerado utilizando técnicas puramente no lineales requiere de un conjunto de herramientas matemáticas muy complicadas y que, por otro lado, no se puede construir un observador del estado que asegure ciertas propiedades (convergencia asintótica, por ejemplo) para el MNLS de la columna al usar esas técnicas, se construyó un observador asintótico del estado a partir de un modelo bilineal simple (MBLS) de la columna. Este MBLS es también de orden reducido y se comporta como el MNLS en una amplia región de funcionamiento.

c) Finalmente, para probar el desempeño del observador asintótico obtenido, éste fué introducido en un esquema de control por retroalimentación de estado.

Cabe mencionar que no se realizó la aplicación del esquema de control a un modelo más complicado para observar el desempeño del esquema. Sin embargo, el hecho de suponer un modelo simple de orden reducido debe influir en dicho desempeño.

La presente memoria describe el trabajo realizado y esta organizado como sigue:

En el Capítulo I se describe brevemente el proceso de destilación binario, presentándose un MNLS de la columna. El modelo es identificado y validado para un conjunto de entradas y alrededor de un punto de operación dado.

Se incluye, también, un análisis de controlabilidad y observabilidad sobre el MNLS.

En el Capítulo II se presenta el concepto de observabilidad para sistemas dinámicos junto con algunos resultados sobre observabilidad de sistemas no lineales.

También se muestra, como hecho importante, el problema de singularidad en la síntesis de observadores para sistemas no lineales (SNL).

En el Capítulo III se diseña un observador bilineal asintótico estable para estimar un estado aglomerado (sin sentido físico) del MNLS, pero necesario para poder aplicar el esquema de control propuesto.

Para poder diseñar el observador asintótico se hace necesario la bilinealización del MNLs alrededor del mismo punto de operación en que éste fué identificado.

En el Capítulo IV se describe una ley de control para rechazo a perturbaciones en el sistemas no lineales. Esta ley es aplicada a la columna de destilación binaria utilizando el observador asintótico obtenido en el Capítulo III. Esto se hace con el fin de verificar el desempeño del observador obtenido.

Por último se presentan algunas conclusiones y perspectivas de implementación del presente trabajo.

CAPITULO I

DESCRIPCION DE LA COLUMNA DE DESTILACION BINARIA

En este Capítulo se describe el proceso de destilación binaria, así como las hipótesis que permiten obtener las ecuaciones que describen el comportamiento dinámico de la columna de destilación.

Se presenta también un modelo no lineal simple, (MNL), de dimensión reducida y se realiza la identificación y validación de ese modelo para un conjunto de entradas, mostrando en simulación que el modelo aproxima de manera adecuada al proceso de destilación.

Se realiza sobre el modelo no lineal simple un análisis de controlabilidad y observabilidad local que permite la realización y formalización de ciertos esquemas de control y observación que serán usados más adelante.

El Capítulo está organizado como sigue:

En la sección 1.1 se describe el proceso de destilación y un modelo de conocimiento del proceso. En la sección 1.2 se presenta un modelo no lineal simple de la columna, el cual es identificado y validado. Para este modelo no lineal simple se realiza el análisis de controlabilidad y observabilidad mencionados arriba y, finalmente, se incluyen algunos comentarios relacionados con el modelo obtenido.

1.1 Modelo de Conocimiento de la Columna.

El proceso de destilación es aquel proceso utilizado para separar compuestos o mezclas de compuestos utilizando las diferencias entre sus volatilidades o sus presiones de vapor. La separación puede ser completa o incompleta, obteniéndose un aumento de la concentración relativa de los componentes en el destilado o en el líquido residual con respecto a sus concentraciones relativas en la mezcla original.

Los procesos de destilación pueden ser clasificados de acuerdo con el número de componentes en la mezcla original como binarios, multicomponentes y complejos. Pueden ser clasificados también de acuerdo al tipo de separación como procesos de equilibrio ráfaga y procesos diferenciales o fraccionantes [17].

La destilación como técnica de separación es relativamente barata y cuenta con amplio campo de aplicación. Entre sus usos se pueden citar, por ejemplo: la separación de una mezcla multicomponente en dos partes o la eliminación de una impureza en un producto.

Los procesos de destilación están constituidos por un conjunto de separación que, en el caso de una columna de destilación, están unidas entre sí formando una cadena de platos. En cada uno de los platos se llevan a cabo fenómenos fisicoquímicos básicos como son el equilibrio termodinámico líquido y el intercambio de energía calorífica [18, 19].

Puesto que las características del proceso son de interés en lo que sigue, es deseable conocer su comportamiento físico, pero a causa de las restricciones de operación de estos procesos se hace imposible efectuar un análisis amplio de su comportamiento. Esto hace necesario establecer un modelo matemático que describa lo más aproximadamente posible las propiedades del proceso.

El modelo de conocimiento obtenido en [20] es capaz de reproducir el comportamiento físico de una columna de destilación binaria en una región de funcionamiento relativamente grande. Enseguida se presentará una breve descripción del proceso así como la metodología básica planteada en [20] para la obtención del modelo que se adoptará para el resto de esta sección, se puede encontrar en el Apéndice 1.

En la Fig. 1 del Apéndice 1 se muestra en forma esquemática la columna de destilación. En la parte superior se encuentra el condensador, que se considera ideal, y que recibe el flujo de vapor del plato superior. Una parte de la fase líquida, producto de la condensación, es introducida de nuevo a la columna, por gravedad o por medio de una bomba (reflujo).

También, se tiene una serie de platos (zonas de rectificación y de agotamiento), más uno de alimentación, por donde el flujo de alimentación (L_f) es introducido. En cada plato entra un flujo líquido descendiente y uno de vapor ascendente, llevándose a cabo una transferencia de masa y de energía, debido a la diferencia de entalpías entre el flujo de vapor y el flujo líquido, generándose así, distintos puntos de equilibrio termodinámico.

En la parte inferior se encuentra el calderín, en el cual se genera un flujo ascendente de vapor que fluye a lo largo de toda la columna. El producto obtenido es, por un lado el flujo líquido destilado y por otro, el flujo líquido extraído del calentador (residuo).

Las hipótesis que se introducen para obtener las ecuaciones que describen el comportamiento dinámico de la columna de destilación son las siguientes [20]:

1. Se considera que en cada plato la transferencia de materia entre las fases líquida y vapor se produce instantáneamente.
2. La dinámica de los procesos termodinámicos y de transporte de masa son mucho mayor que la de los procesos hidrodinámicos.
3. Se considera nula la acumulación de materia bajo la forma de vapor, debido a la baja densidad del gas en comparación a la del líquido.
4. En el calderín, un regulador mantiene el nivel constante.
5. Todos los flujos de entrada y de salida de la columna se encuentran en estado líquido. Además el flujo de alimentación está a su temperatura de ebullición.
6. El condensador es total y además, el líquido que entra está a una temperatura inferior de la de ebullición.

7. La presión en cada plato es constante.

Estas hipótesis son introducidas debido a la complejidad del proceso y permiten una simplificación en la obtención del modelo.

El modelo no lineal está formado por dos sistemas de ecuaciones: uno para el cálculo de los flujos líquido-vapor, y describen la dinámica de las concentraciones líquida y vapor a lo largo de la columna [20, 21, 22]. En [20] se pueden encontrar estos dos sistemas de ecuaciones así como los métodos numéricos utilizados para su solución.

Como el objetivo usual en la destilación es mantener la calidad de los productos dentro de cierto rango de especificaciones, ésto involucra un consumo de energía alto, que no es considerado normalmente [1]. Además, como el proceso es sensible a cambios en las condiciones de operación y con tiempos de respuesta grandes, ésto motiva el control de este tipo de procesos.

Ahora bien, puesto que el modelo riguroso de una columna de destilación usual en la industria es bastante complicado (aproximadamente de 500 ecuaciones álgebra-diferenciales a resolver), ésto lo deja fuera de cuestión para propósitos de estimación y control en línea. Finalmente, como el modelo obtenido en [20] resulta también complicado para el análisis y diseño de esquemas de control, en la siguiente sección se obtiene un modelo no lineal de dimensión reducida de una columna de destilación binaria, el cual es identificado y

validado para un conjunto de entradas. Este modelo será el objeto de nuestro estudio.

1.2 Un Modelo simplificado de la Columna Binaria.

En esta sección se obtiene un modelo no lineal de dimensión reducida (Modelo no Lineal Simple, MNLS) de una columna de destilación binaria, y se realiza la identificación y la validación de este modelo para un cierto conjunto de entradas. Se muestra que el comportamiento de este modelo aproxima de manera adecuada al del proceso de destilación, el cual está simulando digitalmente mediante el modelo analítico presentado.

Este modelo reducido de la columna posee una estructura adecuada para la aplicación de técnicas de control. La simplificación estructural es obtenida mediante la consideración adicional de ciertas hipótesis que permiten modelar al proceso, al considerar que está formado únicamente de cuatro secciones. Los parámetros de este nuevo modelo son identificados usando como proceso al modelo analítico de la columna de destilación que separa una mezcla de agua-metanol obtenido en [20] y descrito brevemente en la sección 1.1.

El modelo simplificado se supone que está formado de cuatro elementos: el condensador, el primer plato, el calderín y un elemento que aglomera los demás platos. Esta selección de elementos está basada en la idea de poder tener disponibles los valores de las concentraciones en la parte de arriba y de abajo de la columna, con fines de producción principalmente y para poder aplicar la ley de control descrita en el Capítulo IV,

ya que en ella se requiere el valor de la concentración en el primer plato. En la figura 1.1 se muestra el esquema del modelo reducido. El modelo se forma con las ecuaciones de balance material asociadas al proceso y con el modelo termodinámico de la mezcla binaria. Las suposiciones adicionales que se introducen son:

- La volatilidad relativa de la mezcla es constante y diferente en cada elemento
- Los flujos líquidos y de vapor son constantes en cada sección de la columna. La razón de flujo de vapor, V , está directamente relacionada con la energía suministrada al condensador, es decir:

$$V = K_b \cdot Q_b$$

donde K_b es el calor latente de vaporización.

Los símbolos usados ahora son los siguientes:

j :	índice del elemento actual
i :	índice del elemento de alimentación
n :	número de elementos de la columna
x_j, y_j :	composición líquida y de vapor en j -ésimo elemento (fracción mol)
M_j :	coeficiente de equilibrio vapor-líquido en el j -ésimo elemento
L_o :	razón de flujo líquido (hasta antes del tercer elemento) (mol/seg)
V :	razón de flujo de vapor a través de la columna (mol/seg)
L_f :	razón de flujo líquido de alimentación (mol/seg)

- x_f : composición líquida de la alimentación (fracción mol)
 H_d, H, H_a, H_b : cantidad de líquido acumulado en el condensador, primer plato, elemento aglomerado y calderín respectivamente (mol)
 α_j : volatilidad relativa de la mezcla en el j -ésimo elemento

El modelo reducido en una representación de estado está entonces dado por

$$\begin{aligned} \dot{\underline{x}} &= g(\underline{x}) \underline{u} \\ \underline{y} &= h(\underline{x}) \end{aligned} \quad (1.1)$$

donde \underline{x} está formado por la composición líquida en cada elemento del modelo reducido, y

$$g(\underline{x}) = \begin{array}{c} \begin{array}{cccc} L_f & L_o & V & (L_f \cdot x_f) \\ 0 & 0 & \frac{M_2 x_2 - x_1}{H_d} & 0 \\ 0 & \frac{x_1 - x_2}{H} & \frac{M_3 x_3 - M_2 x_2}{H} & 0 \\ \frac{-x_3}{H_a} & \frac{x_2 - x_3}{H_a} & \frac{M_4 x_4 - M_3 x_3}{H_a} & \frac{1}{H_a} \\ \frac{x_3 - x_4}{H_b} & \frac{x_3 - x_4}{H_b} & \frac{x_4 - M_4 x_4}{H_b} & 0 \end{array} \end{array} \quad (1.2)$$

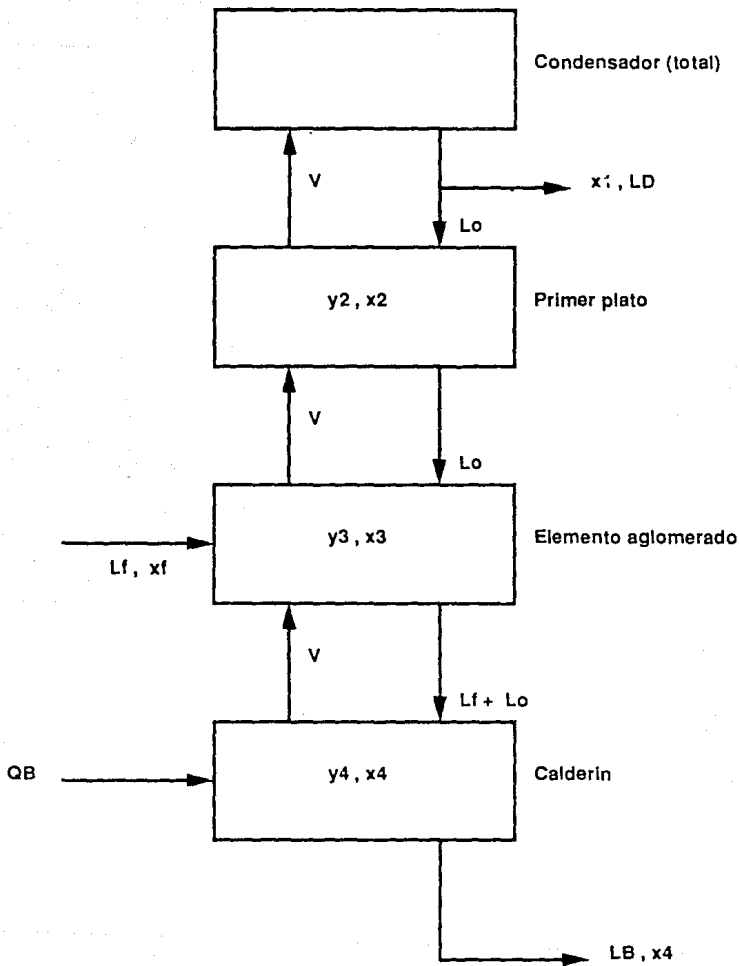


Figura I.1 Representación esquemática de la columna de destilación binaria.

$$h(x) = \begin{pmatrix} x_1 \\ x_4 \end{pmatrix}$$

El vector de entrada es

$$y = \begin{pmatrix} L_f \\ L_o \\ v \\ L_f \cdot X_f \end{pmatrix}$$

con
$$M_j = \frac{\alpha_j}{1 + (\alpha_j - 1) x_j} \quad \text{para } j = 2, 3, 4.$$

El flujo de alimentación L_f viene generalmente de otra etapa de producción en un proceso petroquímico. En la práctica, no es posible hacer una medición en línea de x_f . Sin embargo, L_f puede ser medido con un sensor de flujo adecuado.

El espacio de estado físico es el hipercono abierto $C = (0,1)^4$. Se puede mostrar que el sistema (I.1) está siempre dentro de este dominio invariante para entradas positivas (que son las únicas físicamente significativas). Se puede mostrar también que [23]

$$x_{j-1} > x_j \quad \text{para } j = 2, 3, 4.$$

y que en cada punto del dominio de accesibilidad se satisfacen estas relaciones en estado estacionario.

1.2.1. Identificación del Modelo no Lineal Simple.

El proceso de identificación consistió en determinar el conjunto de parámetros involucrados en las ecuaciones diferenciales que describen el proceso (MNLS), de manera que correspondan al comportamiento de un proceso físico de acuerdo con algún criterio preestablecido. Para lograr la identificación de los parámetros se deben actuar sobre las entradas de tal manera que tanto los modos lentos como rápidos del sistema sean excitados.

El modelo dado por (1.1) y (1.2) se ajusta al comportamiento dinámico de un modelo analítico no lineal (Modelo no Lineal, MNL) en una amplia zona de operación del proceso utilizando un algoritmo de identificación heurístico.

Los parámetros del modelo simplificado de la columna son H , H_a , H_d , α_2 , α_3 y α_4 . fueron identificados utilizando el algoritmo de Nelder Mead [24] definiendo el vector de parámetros como

$$\Theta = \begin{pmatrix} 1/H \\ 1/Ha \\ 1/Hb \\ 1/Hd \end{pmatrix}, \quad (1.3)$$

De esta manera (1.1) puede ser reescrita como

$$\dot{\underline{x}} = \begin{pmatrix} 0 & 0 & 0 & 0 \\ \Theta_1 & -\Theta_1 & 0 & 0 \\ 0 & \Theta_2 & -\Theta_2 & 0 \\ 0 & 0 & \Theta_3 & -\Theta_3 \end{pmatrix} \underline{x} L_0 + \begin{pmatrix} -\Theta_4 & \Theta_4 M_2 & 0 & 0 \\ 0 & -\Theta_1 M_2 & \Theta_1 M_3 & 0 \\ 0 & 0 & -\Theta_2 M_3 & \Theta_2 M_4 \\ 0 & 0 & 0 & \Theta(1-M_4) \end{pmatrix} \underline{x} V$$

$$+ \begin{pmatrix} 0 & 0 & 0 & 0 \\ 0 & 0 & 0 & 0 \\ 0 & 0 & -\Theta_2 & 0 \\ 0 & 0 & \Theta_3 & -\Theta_3 \end{pmatrix} \underline{x} L_f + \begin{pmatrix} 0 \\ 0 \\ \Theta_2 \\ 0 \end{pmatrix} \underline{x} f L_f,$$

$$\underline{y} = \begin{pmatrix} 1 & 0 & 0 & 0 \\ 0 & 0 & 0 & 1 \end{pmatrix} \underline{x}, \quad (1.4)$$

La ecuación (1.4) describe el MNLS en función del vector de parámetros.

Uno de los métodos más flexibles para la identificación de sistemas es el modelo de referencia [25].

El criterio de minimización o función de costo escogida es tal que la "distancia" entre las salidas del proceso y del modelo, esto es, la diferencia entre la salida del proceso y el estimado del modelo se mínima. Entonces, el criterio a minimizar fué

$$J(\Theta) = \frac{1}{2N} \sum_{k=1}^N \langle e_k'(\Theta), e_k(\Theta) \rangle \quad (1.5)$$

donde $\langle \dots \rangle$ es el producto punto de vectores y e_k está dado por

$$e_k(\Theta) = \begin{pmatrix} y_{1k}(\Theta) - y_{1k} \\ y_{2k}(\Theta) - y_{2k} \end{pmatrix}$$

y_{1k} y y_{2k} son las salidas del proceso mientras que $y_{1k}(\Theta)$ e $y_{2k}(\Theta)$ son las salidas del modelo.

y (Θ) son las del MNLS (composiciones líquidas en el condensador y el calderin respectivamente).

N es el número de mediciones tomadas en el horizonte de observación dado por N Δt , siendo Δt el periodo de integración.

Como entradas de identificación se utilizaron el reflujo L_o , y el flujo de alimentación L_f , ya que se ha demostrado [26] que dos entradas son suficientes para excitar tanto los modos lentos como los rápidos del proceso simulado (MNL).

Para la obtención de las trayectorias del modelo no lineal simple se utilizó un algoritmo de integración de Runge Kutta de cuarto orden.

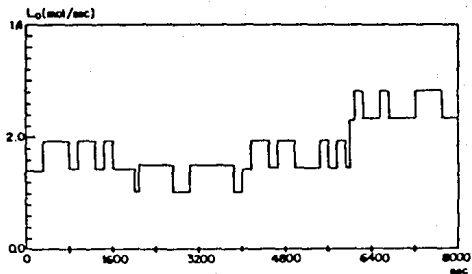
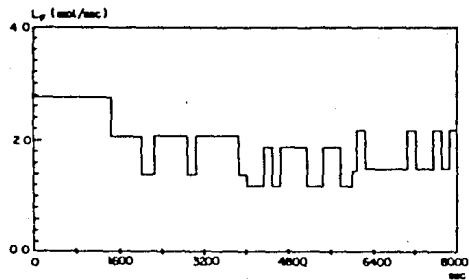
Para la identificación del vector de parámetros se utilizaron los siguientes cambios.

L_f (mol/seg):	2.392	1.715	1.815
L_o (mol/seg):	0.583	0.440	0.405
QB(cal/seg):	10500	10500	10500

En las figuras 1.2a y 1.2b se muestran las entradas L_o y L_f , así como las salidas (concentraciones en el condensador y calderín) y la concentración en el primer plato del MNL y del MNLS.

Las propiedades de la alimentación y la condición inicial de operación están dadas en la tabla 1.1. En la tabla 1.2 se muestra el punto de equilibrio considerado para la identificación.

TABLA 1.1. Valor de la alimentación y de la condición inicial de operación para la identificación del MNLS	
Número total de elementos	$n = 4$
Número del elemento de alimentación	$f = 3$
Capacidad molar líquida inicial del condensador	$H_d = 150 \text{ mol}$
Capacidad molar líquida inicial del primer plato	$H = 60 \text{ mol}$
Capacidad molar líquida inicial del plato aglomerado	$H_a = 60 \text{ mol}$
Capacidad molar líquida inicial del calderín	$H_b = 850 \text{ mol}$
Volatilidad relativa del primer plato	$\alpha_2 = 2.8913$
Volatilidad relativa del plato aglomerado	$\alpha_3 = 10.8868$
Volatilidad relativa del calderín	$\alpha_4 = 5.5829$
Flujo de alimentación en el punto de equilibrio	$L_f = 1.815 \text{ mol/seg}$
Composición del flujo de alimentación en el punto de equilibrio	$x_f = 0.5 \text{ fracción mol}$
Flujo de vapor en el punto de equilibrio	$V = 1.2146 \text{ mol/seg}$
Potencia de calentamiento consumida en el calderín en el punto de equilibrio	$Q_b = 10500 \text{ cal/seg}$
Constante que relaciona V y Q_b	$K_b = 0.000115679 \text{ mol/cal}$
Reflujo en el punto de equilibrio	$L_o = 0.45 \text{ mol/seg}$



Lf : 2.392 1.715 1.515 1.815

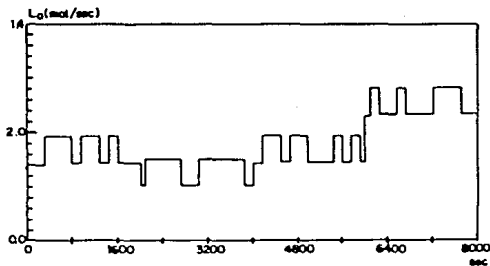
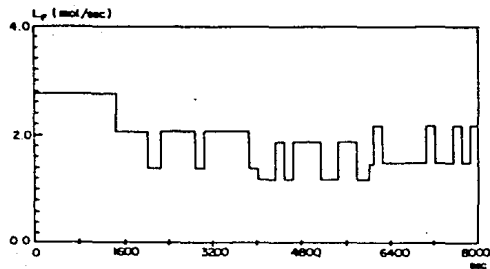
Lo : 0.583 0.440 0.592 0.405

Variación de $\pm 20\%$ en Lf y Lo

Cada muestra es de 20 segundos

400 muestras en total

Figura 1.2a Entradas de identificación para el MNL5



Lf : 2.392 1.715 1.515 1.815

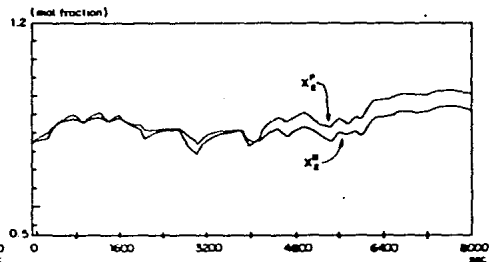
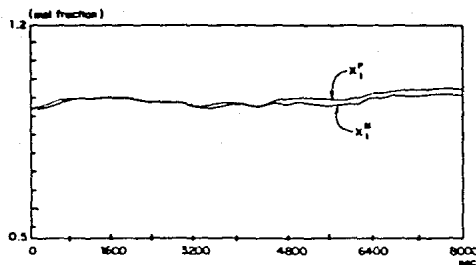
Lo : 0.583 0.440 0.592 0.405

Variación de $\pm 20\%$ en Lf y Lo

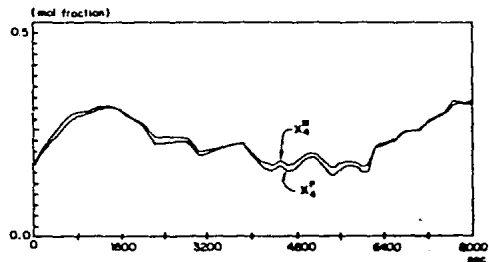
Cada muestra es de 20 segundos

400 muestras en total

Figura 1.2a Entradas de identificación para el MNLS



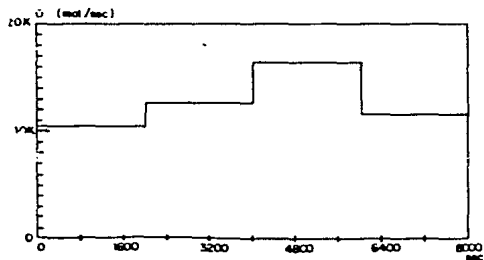
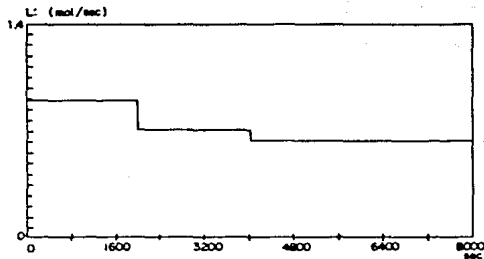
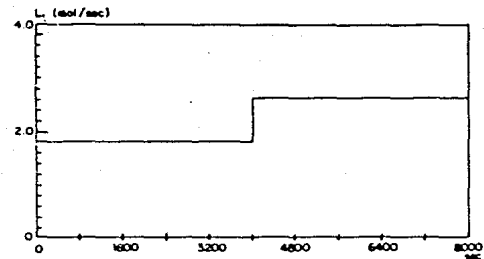
- P
x1 Composición líquida en el
condensador del Proceso
- P
x2 Composición líquida en el
primer plato del Proceso
- P
x4 Composición líquida en el
calderín del Proceso
- M
x1 Composición líquida en el
condensador del Proceso
- M
x2 Composición líquida en el
condensador del MNLS
- M
x4 Composición líquida en el
calderín del MNLS



Cada muestra es de 20 segundos

400 muestras en total

Figura 1.2b Salida de Identificación



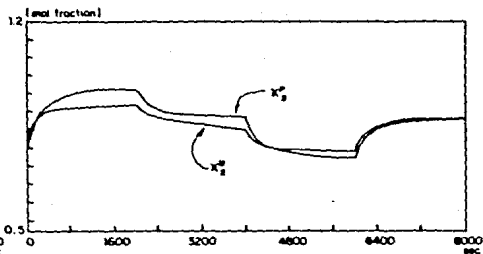
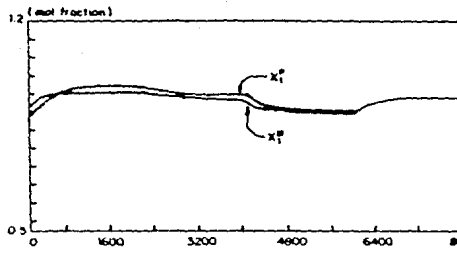
L_f :	1.815	1.815	2.630	2.630
L_o :	0.950	0.700	0.600	0.600
Q_b :	10500	12600	14000	11000

Variación de 0 % en L_f , L_o y Q_b

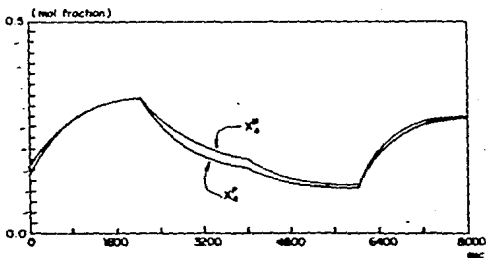
Cada muestra es de 20 segundos

400 muestras en total

Figura 1.3a Entradas de validación para el MNLS



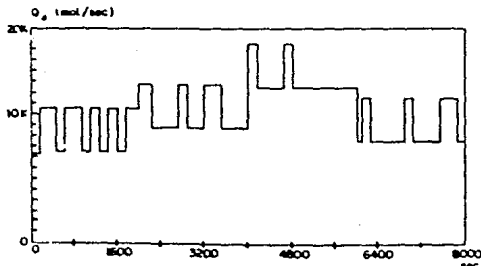
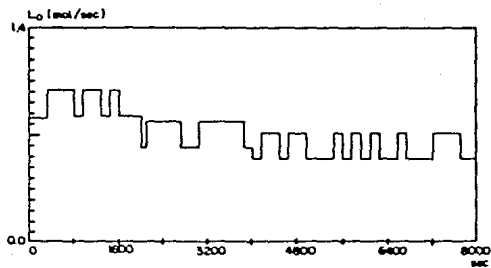
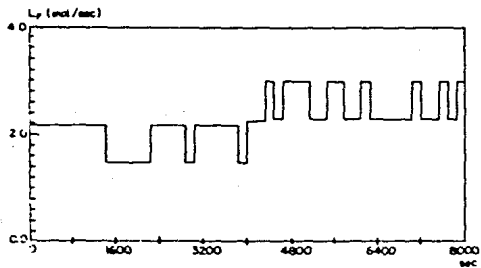
- p
x1 Composición líquida en el condensador
- p
x2 Composición líquida en el primer plato del Proceso
- p
x4 Composición líquida en el calderín del Proceso
- M
x1 Composición líquida en el condensador del Proceso
- M
x2 Composición líquida en el condensador del MNLS
- M
x4 Composición líquida en el calderín del MNLS



Cada muestra es de 20 segundos

400 muestras en total

Figura 1.3b Salida de la validación



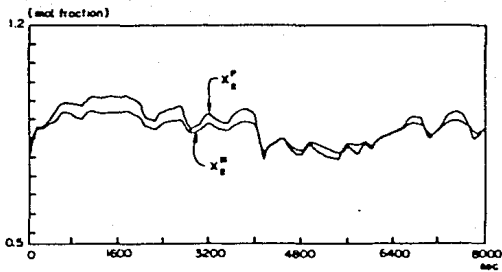
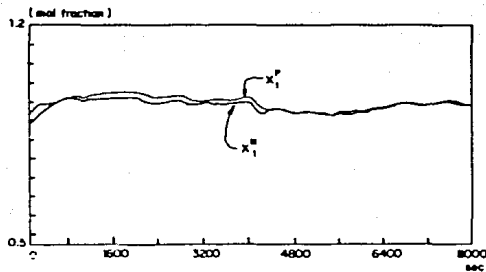
$L1$: 1.815 1.815 2.630 2.630
 $L0$: 0.900 0.700 0.625 0.627
 Qb : 10500 12700 16400 11460

Variación de $\pm 20\%$ en $L1$, $L0$ y Qb

Cada muestra es de 20 segundos

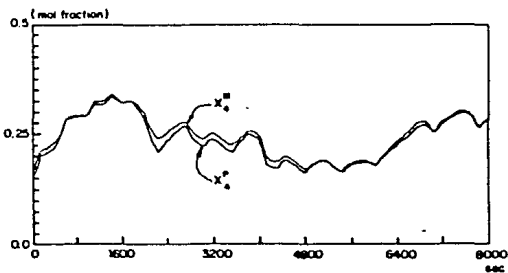
400 muestras en total

Figura 1.4a Entradas de validación para el MNLS



- P
x1 Composición líquida en el condensador
- P
x2 Composición líquida en el primer plato del Proceso
- P
x4 Composición líquida en el calderín del Proceso
- M
x1 Composición líquida en el condensador del Proceso
- M
x2 Composición líquida en el condensador del MNLS
- M
x4 Composición líquida en el calderín del MNLS

Figura 1.4b Salida de la validación



Cada muestra es de 20 segundos.

400 muestras en total.

TABLA 1.2 Distribución de la composición líquida del MNLS en el punto de equilibrio.	
Elemento	Concentración (fracción mol)
x1 (condensador)	0.92144525
x2 (primer plato)	0.80225360
x3 (plato aglomerado)	0.39638239
x4 (calderín)	0.19320077

Los valores de los parámetros identificados fueron los siguientes:

Hd =	66.67 mol
H =	80.71 mol
Ha =	62.79 mol
Hb =	1101.81 mol

Los valores de α_2 , α_3 y α_4 fueron calculados a partir de (1.1), tomando el punto de equilibrio de la tabla 1.2, donde el valor de la concentración en el elemento aglomerado, x3, corresponde al valor de la concentración en el último plato del modelo no lineal obtenido en [20].

De (1.1) y en el punto de equilibrio

$$x_1 = \frac{M_2 x_2 - x_1}{H_d} V = 0 \quad (1.5)$$

de donde $M_2 x_2 = x_1$, y como $M_2 = \frac{\alpha_2}{1 + (\alpha_2 - 1) x_2}$ se tiene

que

$$\alpha_2 = 2.891305592$$

También de (I.1) se tienen las expresiones siguientes en el mismo punto de equilibrio:

$$x_2 = \frac{x_1 - x_2}{H} L_o + \frac{M_3 x_3 - M_2 x_2}{H} V = 0$$

$$x_3 = - \frac{x_3}{H_a} L_f + \frac{x_2 - x_3}{H_a} L_o + \frac{M_4 x_4 - M_3 x_3}{H_a} V + \frac{L_f x_f}{H_a} = 0 \quad (I.6)$$

$$x_4 = \frac{x_3 - x_4}{H_b} L_f + \frac{x_3 - x_4}{H_b} L_o + \frac{x_4 - M_4 x_4}{H_b} V = 0$$

Utilizando para L_f , L_o y x_f los valores de la tabla I.1 se obtiene la solución siguiente para las ecuaciones dadas por (II.6)

$$V = 1.2146341155$$

$$\alpha_3 = 10.88675022$$

$$\alpha_4 = 5.582909805$$

En esta solución puede observarse que el valor de V coincide con el calculado por la expresión $V = K_b \cdot Q_b$ y se encuentra en la tabla (1.1)

Finalmente, una vez estimados los parámetros, se hizo necesario verificar que el modelo identificado se comportara satisfactoriamente para otro conjunto de entradas. Enseguida, se dan algunas definiciones necesarias para la comprensión del teorema de controlabilidad local débil desarrollado en [13]. Los conceptos definidos pueden encontrarse con más detalle en [27].

Considerándose sistemas no lineales de la forma:

$$\Sigma : \begin{cases} \dot{x} = f(x, y) \\ y = g(x) \end{cases} \quad (1.7)$$

donde $x \in \Omega \subset \mathbb{R}^n$; $y \in \mathbb{R}^m$; f, g son funciones C^α . M es una variedad C^α de dimensión m .

Sea U un subconjunto de M , x_1 es U -accesible de x_0 ($x_1 \in U$)

x_0) si existe un control medible y acotado $[u(t), (t_0, t_1)]$ satisfaciendo $u(t)$ para $t \in (t_0, t_1)$ tal que la solución correspondiente $[x(t), (t_0, t_1)]$ de la ecuación diferencial (1.7) satisface $x(t_0) = x_0$, $x(t_1) = x_1$ y $x(t) \in U$ para toda $t \in (t_0, t_1)$.

Sea entonces, $A_U(\underline{x})$ el conjunto de puntos U -accesibles desde \underline{x} .

Se dice que Σ es local, débilmente controlable si y sólo si para cada $\underline{x} \in M$ y cada vecindad U de \underline{x} , el interior de $A_U(\underline{x})$ es diferente de Φ .

Se define también como F^0 el subconjunto de todos los campos vectoriales $f_i(\underline{x}, u_i) \in X(M)$ generados por cada control constante $u_i \in \Omega$, donde $X(M)$ es el conjunto de todos los campos vectoriales C^α sobre M .

F es la subálgebra más pequeña de $X(M)$ que contiene a F^0 bajo la operación paréntesis de Lie (ver apéndice 3).

$F(\underline{x})$ es el espacio de vectores tangentes generados por los campos vectoriales de F en $\underline{x} \in M$.

Se dice que el sistema Σ definido por (1.7) satisface la condición de rango de controlabilidad en x_0 $A(x_0)$ si la U dimensión de $F(x_0)$ es m . El sistema Σ satisface la condición de rango de controlabilidad, si lo anterior se cumple para cada $x \in M$.

Estas definiciones permiten enunciar el siguiente teorema:

Teorema 1.1 (10).

El sistema Σ es localmente débil controlable en x_0 si y sólo si satisface la condición de rango de controlabilidad en x_0 . Σ es localmente débilmente controlable si y sólo si la condición de rango se satisface para cada $x \in M$.

Para el sistema dado por (1.1) y (1.2), de la teoría expuesta se tiene que

$$F^0 = (u_1 g_1(x) + \dots + u_4 g_4(x) : u_1, \dots, u_4 \in \Omega)$$

donde

$$g_1(\underline{x}) = \begin{pmatrix} 0 \\ 0 \\ -\Theta_2 x_3 \\ \Theta_3 (x_3 - x_4) \end{pmatrix}, \quad g_2(\underline{x}) = \begin{pmatrix} 0 \\ \Theta_1 (x_1 - x_2) \\ \Theta_2 (x_2 - x_3) \\ \Theta_3 (x_3 - x_4) \end{pmatrix},$$

$$g_3(\underline{x}) = \begin{pmatrix} \Theta_4 (M_2 x_2 - x_1) \\ \Theta_1 (M_3 x_3 - M_2 x_2) \\ \Theta_2 (M_4 x_4 - M_3 x_3) \\ \Theta_3 (x_4 - M_4 x_4) \end{pmatrix}, \quad \text{y} \quad g_4(\underline{x}) = \begin{pmatrix} 0 \\ 0 \\ \Theta_2 \\ 0 \end{pmatrix}.$$

Y el álgebra de Lie correspondiente es generada por todos los campos

$$(g_i(\underline{x}); i = 1, \dots, 4).$$

Se puede ver también que

$$F(\underline{x}) = \text{Gen} (g_i(\underline{x}), (g_i(\underline{x}), g_j(\underline{x})); i, j = 1, 2, 3, 4)$$

donde Gen indica que es un espacio generado por los campos vectoriales dados y (\dots) es la operación paréntesis de Lie (ver apéndice 3).

Tomando, los vectores $g_1(x), g_2(x), g_3(x), g_4(x)$ y formando la matriz $B = (g_1(x) \ g_2(x) \ g_3(x) \ g_4(x))$. Todos los demás paréntesis de B son cero o dependen linealmente de los tomados. Así, se encuentra que

$$\det B = \alpha^2 \Theta_4 \Theta_1 \Theta_2 \Theta_3 (x_1 - x_2) (x_3 - x_4) M^2$$

donde

$$M^j = \frac{\alpha^j + 1}{2}, \quad j = 2, 3, 4$$

$$(1 + \alpha^j x_2)$$

Las condiciones que $\det B=0$ es que al menos uno de los factores $(x_1 - x_2), (x_3 - x_4), M^2$ sea cero. Como $x_1 - x_2, x_3 - x_4$ y M^4 son distintos de cero, en general, la dimensión del espacio generado es igual a 4, y la condición del rango se satisface por lo que se puede decir que cualquier estado es el cubo abierto $[0, 1]$ puede ser alcanzado mediante la aplicación de entradas adecuadas. Luego el sistema es local y débilmente controlable.

1.3.1 Observabilidad

El segundo estudio que se realizó sobre el MNLS obtenido en este capítulo es el de observabilidad. Se dice que un sistema es observable si se puede distinguir un estado x_0 de otro x_1 a partir de la observación de las salidas durante un tiempo finito. Para llevar cabo este estudio de observabilidad se utiliza el teorema de observabilidad local para sistemas no lineales descrito en el capítulo II.

Puesto que, en la ley de control que se expone en el capítulo IV se requiere que la diferencia a la cual se quiere llevar el valor de la concentración en el primer plato x_{2r} , y el valor de la concentración del mismo plato, sea cero, se optó por redefinir el vector de salidas como $h(x) = (x_1, x_2, x_4)^T$, suponiendo que se tiene disponible una medición de x_2 . Esta redefinición permite también resolver un problema de degeneración que presenta la ley de control usado cuando se aplica a procesos de destilación.

Para el modelo descrito por (1.1) y (1.2) se tiene ahora que:

$$h(x) = (x_1 \ x_2 \ x_3)^T \quad \text{con } h_1(x) = x_1, \ h_2(x) = x_2$$

$$\text{y } h_3(x) = x_4$$

Además,

$$G(\underline{x}) = (h_1(\underline{x}), h_2(\underline{x}), h_3(\underline{x}))$$

El campo vectorial con respecto al cual se aplica la derivada de Lie para cada una de las funciones h_1, h_2 y h_3 es

$$\underline{g}(\underline{x}, \underline{y}) = \begin{pmatrix} g_1(\underline{x}, \underline{y}) \\ g_2(\underline{x}, \underline{y}) \\ g_3(\underline{x}, \underline{y}) \\ g_4(\underline{x}, \underline{y}) \end{pmatrix}$$

con

$$g_1(\underline{x}, \underline{y}) = -\Theta_4 u_3 (x_1 - M_2 x_2)$$

$$g_2(\underline{x}, \underline{y}) = \Theta_1 u_2 (x_1 - x_2) + \Theta_1 u_3 (M_3 x_3 - M_2 x_2) u_4$$

$$g_3(\underline{x}, \underline{y}) = -\Theta_2 u_2 x_3 + \Theta_2 u_2 (x_2 - x_3) + \Theta_2 u_3 (M_4 x_4 - M_3 x_3) + \Theta_2$$

$$g_4(\underline{x}, \underline{y}) = \Theta_3 u_1 (x_3 - x_4) + \Theta_3 u_2 (x_3 - x_4) + \Theta_3 u_3 (x_4 - M_4 x_4)$$

donde $\Theta_1, \Theta_2, \Theta_3$ y Θ_4 son los parámetros identificados en la sección 1.2.1.

Aplicando entonces la derivada de Lie a las funciones h_1 , h_2 y h_3 con respecto al campo vectorial \underline{g} se tiene

$$L_{\underline{g}}(h_1) = \frac{\delta h_1}{\delta \underline{x}}(\underline{x}) \underline{g}(\underline{x}, \underline{y}) = (1 \ 0 \ 0 \ 0) \underline{g}(\underline{x}, \underline{y}) = \underline{g}_1(\underline{x}, \underline{y})$$

$$L_{\underline{g}}(h_2) = \frac{\delta h_2}{\delta \underline{x}}(\underline{x}) \underline{g}(\underline{x}, \underline{y}) = (0 \ 1 \ 0 \ 0) \underline{g}(\underline{x}, \underline{y}) = \underline{g}_2(\underline{x}, \underline{y})$$

$$L_{\underline{g}}(h_3) = \frac{\delta h_3}{\delta \underline{x}}(\underline{x}) \underline{g}(\underline{x}, \underline{y}) = (0 \ 0 \ 1 \ 0) \underline{g}(\underline{x}, \underline{y}) = \underline{g}_3(\underline{x}, \underline{y})$$

De donde

$$G(\underline{x}) = \text{Gen} \left(\begin{matrix} h_1(\underline{x}), & h_2(\underline{x}), & h_3(\underline{x}), & L_{\underline{g}}(h_1)(\underline{x}), & L_{\underline{g}}(h_2)(\underline{x}), & L_{\underline{g}}(h_3)(\underline{x}) \end{matrix} \right)$$

Las demás derivadas de Lie son cero o dependen de las tomadas.

Y

$$dG(\underline{x}) = \text{Gen} \left(\begin{array}{c} dh1(\underline{x}), dh2(\underline{x}), dh3(\underline{x}), dL(h1)(\underline{x}), dL(h2)(\underline{x}), \\ dL(h3)(\underline{x}) \end{array} \right)$$

$$dG^o(\underline{x}) = \left[\begin{array}{c|c|c|c} 1 & 0 & 0 & 0 \\ \hline & 1 & 0 & 0 \\ \hline & 0 & 0 & 0 \\ \hline & 0 & 0 & 1 \end{array} \right]$$

$$dG = \left[\begin{array}{c|c|c|c|c} 1 & 0 & 0 & 0 & -\Theta_4 u_3 \\ \hline & 1 & 0 & 0 & \Theta_4 u_3 M^3 \\ \hline & 0 & 0 & 0 & 0 \\ \hline & 0 & 0 & 1 & 0 \end{array} \right]$$

$$\text{Det } B^0 = -\Theta^3 (u_1 + u_2)$$

que es igual a cero si Θ^3 ó $(u_1 + u_2)$ son cero. Como ninguno de estos elementos es cero para casos prácticos se puede decir que el sistema es local y débilmente observable.

Comentarios

En este capítulo se obtuvo un modelo no lineal simple (MNLS) que fué identificado y validado para un cierto conjunto de entradas. De las gráficas de identificación y de validación (figuras 1.2b, 1.3b y 1.4b) se observa que las curvas dinámicas del MNLS se aproximan bien a las correspondientes del MNL, con lo cual se puede decir que el MNLS aproxima de manera adecuada al proceso de destilación en una zona de validez amplia, alrededor del punto de operación.

El análisis de controlabilidad y observabilidad permite obtener la realización de esquemas de observación y control, localmente, como se verá en capítulos posteriores.

Finalmente, como la realización obtenida (MNLS) es localmente controlable y observable, entonces es mínima, y por tanto, bajo las suposiciones adicionales dadas, el comportamiento de este modelo es una aproximación adecuada del proceso real.

CAPITULO II

OBSERVABILIDAD DE SISTEMAS DINAMICOS

En este capítulo se presenta el concepto de observabilidad en sistemas dinámicos. Se dan, en particular, un conjunto de definiciones y resultados para sistemas no lineales, y que serán aplicados a un modelo no lineal simple de una columna de destilación binaria.

Se discute además la importancia de los observadores asintóticos para sistemas bilineales junto con sus características que presenta su síntesis.

II.1 Concepto de observabilidad.

En esta sección se presenta el concepto de observabilidad para sistemas dinámicos. Junto con algunos resultados sobre la observabilidad en sistemas no lineales y que están basados en el trabajo realizado por Hermann y Krener [10]. Los resultados fueron aplicados a un modelo no lineal simple de orden reducido (Capítulo II) y a otro modelo bilineal obtenido del anterior (Capítulo III). A partir de este último fue diseñado un observador asintótico (Capítulo III).

En esta sección se consideran sistemas no lineales de la forma

$$\begin{aligned} \dot{x} &= f(x, u) \\ \Sigma: \quad y &= g(x) \end{aligned} \quad (11,1)$$

donde $u \in \Omega$, un subconjunto de R^1 , $x \in M$, $y \in R^\alpha$, f y g son funciones C^α . M es una variedad C^α de dimensión m .

Se dice que un sistema es observable si se puede distinguir un estado x_0 de otro x_1 a partir de la observación de las salidas durante un tiempo finito. Es necesario introducir el concepto de indistinguibilidad de estados. se dice que dos estados x_0 y x_1 de un sistema con indistinguibles ($x_0 \sim x_1$) si dos pares (Σ, x_0) y (Σ, x_1) realizan el mismo mapeo entrada-salida; es decir, para toda entrada admisible $[u(t), (t_0, t_1)]$

$$\Sigma x_0 : [u(t), (t_0, t_1)] = \Sigma x_1 : [u(t), (t_0, t_1)]$$

Se tiene por lo tanto, la siguiente definición general de observabilidad del sistema [10]:

Sea $I(x_0)$ una clase de equivalencia de x_0 . Σ es observable en x_0 si $I(x_0) = \{x_0\}$ y Σ es observable si $I(x) = \{x\}$ para toda $x \in M$.

Nótese que este concepto de observabilidad es global, por lo que resulta útil definir un concepto de carácter local que, a la vez, es más fuerte que el anterior.

Sea U un subconjunto de M , x_0 y $x_1 \in U$. Se dice que x_0 es U -indistinguible de x_1 ($x_0 \sim_U x_1$) si para todo control $[u(t), (t_0, t_1)]$ cuyas trayectorias $[x_0(t), (t_0, t_1)]$ y $[x_1(t), (t_0, t_1)]$, a partir de x_0 y x_1 respectivamente, están contenidas en U , no es posible distinguir ambos estados.

En la práctica, generalmente no se necesita distinguir x_0 mas que de puntos contenidos en una vecindad de x_0 . Se dice entonces que Σ es localmente observable en x_0 si existe una vecindad abierta U de x_0 tal que para cada vecindad abierta de V de x_0 contenida en U , $\exists (x_0) = (x_0)$. Se dice que Σ es localmente débil observable si lo anterior cumple para toda $x \in M$.

Enseguida, se presentan otras definiciones que permiten establecer la condición de rango de observabilidad débil local para sistemas no lineales, y que finalmente permitirán enunciar el teorema de observabilidad débil local.

Sea $C^\alpha(M)$ el espacio vectorial real, de dimensión infinita, de todas las funciones reales escalares C^α con dominio en M y α .

$X(M)$ el conjunto de todos los campos vectoriales C sobre M .

Si $h \in X(M)$ y $q \in C^\alpha(M)$, entonces la derivada de Lie de q con respecto a h se define como

$$L_h(q)(x) = \frac{\delta q}{\delta x}(x) h(x)$$

$$\frac{\delta q}{\delta x} = \left(\frac{\delta q}{\delta x^1}, \dots, \frac{\delta q}{\delta x^m} \right), = dq$$

Sea G^0 el subconjunto de $C^\alpha(M)$ consistente de las funciones q_1, \dots, q_n , (las componentes de $g(x)$ en la ecuación II.1 y que se escribe como

$$G^0 = (q_1, \dots, q_n)$$

Se define también a G como el subespacio lineal más pequeño de $C^\alpha(M)$ que contiene a G^0 y que es cerrado bajo la

operación derivada de Lie, por elementos de F , donde F es el subconjunto de todos los campos vectoriales $f(x, u)$ contenidos en $X(M)$ generados por cada control constante $u \in \Omega$. Es decir

$$G = \{q \in C^\alpha(M) : q = L(q)(x) = \sum_f (\delta q / \delta x) (x) f(x), \\ f \in F, q \in G\} \cup G$$

Se dice que el sistema dado por (II.1) satisface la condición de rango de observabilidad en x_0 si la dimensión de $dG(x_0)$ es m , donde $dG(x_0)$ es un conjunto dado por:

$$dG = (dq : q \in G)$$

Se dice que Σ satisface la condición de rango de observabilidad si lo anterior se satisface para toda $x \in M$.

Estos conceptos permiten enunciar el siguiente teorema

Teorema II.1 [10]

El sistema Σ es local y débilmente observable en x_0 si y sólo si satisface la condición de rango de observabilidad en x_0 . Σ

es local y débilmente observable si y sólo si la condición de rango de observabilidad se satisface para toda $\underline{x} \in M$.

II.2 Síntesis de Observadores para Sistemas no Lineales.

Intuitivamente, el problema de observabilidad consiste en identificar la cantidad precisa de información acerca del estado del sistema y que está contenida en las mediciones de la salida del sistema. En forma más precisa, dado el sistema

$$\begin{aligned}\dot{\underline{x}} &= f(\underline{x}, \underline{u}) \quad , \quad \underline{x}(0) = \underline{x}_0, \\ \underline{y}(t) &= h(\underline{x}) \quad ,\end{aligned}$$

y la entrada $\underline{u}(t)$, se quiere saber si el estado \underline{x}_0 puede ó no determinarse de forma única, a partir de mediciones de la salida $\underline{y}(t)$ en cualquier intervalo $0 < t \leq \tau$.

La estructura no lineal de los procesos introduce complicaciones matemáticas en el problema de observabilidad. Uno de los problemas más importantes de la síntesis de observadores para sistemas no lineales está relacionado con el hecho de que ciertas entradas $u(t)$ hacen a un sistema, no observable.

Este tipo de entradas existen y son un problema permanente que debe tomarse en cuenta para la síntesis de observadores

en sistemas no lineales. Constituyen además la singularidad de este problema de síntesis. Los sistemas lineales constituyen una clase de sistemas no representativa del problema, ya que en ese caso no existe la singularidad mencionada. Es decir, los sistemas lineales con observables independientemente de la entrada aplicada. Esta propiedad permite asegurar la existencia de observadores para sistemas lineales.

Exceptuando los observadores para sistemas lineales, existen básicamente cuatro tipos de observadores para sistemas no lineales. Enseguida se describen las características más importantes de cada uno de éstos así como el grado en que el problema de singularidad los afecta.

a) Observadores por inyección de salida. [15, 16]. La idea en este tipo de observadores consiste en referirse a un sistema lineal obtenido por inyección de la salida del sistema no lineal. En el caso de no tener un sistema no lineal sin entradas, la idea a probado ser bastante buena. Para el caso de tener un sistema no lineal con entradas y que es linealizable por inyección de la salida, el problema de la singularidad descrito arriba, no existe. Se trata pues, de una aproximación que solamente permite tratar una clase particular de sistemas para la cual ese problema no aparece.

b) Observadores de Hsu. Estos observadores requieren, en cada tiempo t , el conocimiento de la función de entrada u en un intervalo $(t - s, t)$ [14], donde $0 \leq s < t$. Estos podrían ser llamados observadores de dimensión infinita.

c) Observadores de Williamson. [13] Estos observadores requieren en cada instante t , el conocimiento de $u(t)$ y sus derivadas.

d) Observadores del tipo Hara-Furuta. [9, 12] Este tipo de observadores, en cada tiempo t son operados por el valor de $u(t)$ de la función de entrada en el mismo instante t .

Williamson caracteriza los sistemas bilineales que son observables, independientemente de las entradas y construye un observador para una sistema de ese tipo. De esta manera el problema de singularidad no aparece. En los observadores del tipo Hara-Furuta (también para sistemas bilineales) existen condiciones suficientes bajo las cuales existen observadores asintóticos. En ellas no se hace ninguna hipótesis explícita en relación al de singularidad. Por el contrario, si se analizan los teoremas (de [9], por ejemplo), se puede ver (con cierta dificultad) que todo sistema que satisface las hipótesis es naturalmente estable para malas entradas (entradas que hacen al sistema no observable). Esto explica porque se puede obtener un observador asintótico en este caso y, además, porque no se puede en este tipo de observador, fijar arbitrariamente la velocidad de convergencia.

II.3 Observadores Asintóticos para Sistemas Bilineales.

La importancia de los observadores de estado asintóticos en la teoría de control por retroalimentación es conocida y en el caso de sistemas lineales, la teoría está bien estudiada, al grado que a sido refinada en forma satisfactoria. Últimamente, varios autores [11, 16], han propuesto

observadores para sistemas no lineales (en particular, sistemas bilineales), esto es, sistemas definidos por

$$\begin{aligned} \dot{\underline{x}} &= A_0 \underline{x} + \sum_{i=1}^p A_i u_i + B \underline{u} \\ \underline{y} &= C \underline{x} \end{aligned} \quad (11.2)$$

donde $\underline{x}(t) \in \mathbb{R}^n$, $\underline{y}(t) \in \mathbb{R}^q$, $\underline{u}(t) \in \mathbb{R}^p$ y $A_0, A_1, \dots, A_p \in \mathbb{R}^{n \times n}$
 $B \in \mathbb{R}^{n \times p}$ y $C \in \mathbb{R}^{q \times n}$.

En particular, en [12], se han considerado observadores con una estructura similar a la del sistema 11.2, o sea

$$\begin{aligned} \dot{\underline{z}} &= \left(A_0 + \sum_{i=1}^p A_i u_i(t) \right) \underline{z} + \left(B_0 + \sum_{i=1}^p B_i u_i(t) \right) \underline{y}(t) + J \underline{u}(t) \end{aligned} \quad (11.2)$$

$$\underline{w} = C \underline{z} + D \underline{y}$$

El error de estimación del observador obtenido es independiente de las entradas y se asume que cumple con la siguiente condición asintótica sobre el error de estimación

$$\lim_{t \rightarrow \infty} \frac{d}{dt} (\underline{w} - K \underline{x}) = 0 \quad (i = 0, 1, 2, \dots,)$$

donde \underline{x} es el estado del sistema (II.2) y K es una matriz constante.

Este observador tiene las siguientes propiedades importantes:

a) El Observador puede funcionar efectivamente bajo cualquier tipo de entradas.

b) El Observador puede ser diseñado para cualquier sistema regulador sin tomar en cuenta el efecto de las entradas.

En [9] se han considerado observadores con la misma estructura, pero donde el error de estimación puede depender de la entrada. Sin embargo, si se quiere que la norma del error de estimación converja a cero asintóticamente, se necesita cumplir la siguiente condición

$$\lim_{t \rightarrow \infty} (\underline{w} - K \underline{x}) = 0$$

Los resultados obtenidos en [9] sólo son aplicables a sistemas dados por (II.2), pero sin el término $B u$. En este trabajo se proporcionan extensiones de los resultados ahí obtenidos y se

aplican para la síntesis de un observador bilineal asintótico de una columna de destilación binaria.

El espacio de observación asociado a un sistema bilineal esta, constituido de funciones lineales. En el caso no lineal general, éstas son funciones generales sobre el espacio de estado. Reconocer el estado en el caso general equivale entonces a resolver ecuaciones generales no lineales. Para un sistema bilineal, es un problema de álgebra lineal; por lo tanto, un problema más simple.

En resumen, se puede decir que los sistemas bilineales constituyen una clase interesante de sistemas para estudiar los problemas de observación porque:

- a) El problema de singularidad (malas entradas) está presente.
- b) Los aspectos de cálculo son más sencillos (lineales).

Comentarios

En este capítulo se han presentado algunos resultados sobre observabilidad de sistemas dinámicos, los cuales fueron empleados en el capítulo I para realizar un análisis de observabilidad junto con otro de controlabilidad del modelo no lineal simple (MNLS) de una columna de destilación binaria. Este análisis permitirá el diseño de un observador bilineal asintótico para el MNLS

CAPITULO III

EL OBSERVADOR BILINEAL ASINTOTICO PARA EL MODELO NO LINEAL SIMPLIFICADO DE LA COLUMNA

El modelo simple descrito en el capítulo I tiene un comportamiento dinámico muy cercano al modelo analítico de una columna de destilación binaria y, por otro lado, su estructura permite el diseño de estructuras de control y el uso de herramientas de análisis de una manera fácil y eficiente. En este capítulo se presenta, en primer lugar, un observador del estado cuyo error de estimación puede depender de la entrada, pero con una norma que converge a cero asintóticamente. El observador descrito es una extensión del reportado en [12] y [9] dándose aquí las condiciones de suficiencia que garantizan su existencia para sistemas bilineales (sección III.2). En la sección III.4 se presenta un modelo bilineal obtenido en base al modelo simplificado presentado en el capítulo I, así como un estimador bilineal asintótico diseñado y evaluado en simulación. La validación de la aproximación bilineal se realizó tomando al MNLS como proceso en la zona de validez de este último. Para efectos de comparación con el observador bilineal asintótico obtenido en la sección III.4 se obtuvo un observador lineal de Luenberger (sección III.3.2).

III.1 Un Modelo Bilineal.

Para obtener la aproximación bilineal se utiliza un desarrollo en series de Taylor del modelo dado por (I.1) alrededor de algún \bar{x} manteniendo únicamente los términos de orden cero y uno, obteniéndose

$$\begin{aligned} \underline{X} &= \sum_{i=1}^m u_i \nabla g_i(\bar{x}) \underline{X} + \sum_{i=1}^m U_i \nabla g_i(\bar{x}) + \sum_{i=1}^m U_i g_i(\bar{x}) \\ \underline{Y} &= \nabla h(\bar{x}) \underline{X} \end{aligned} \quad (III.1)$$

donde \underline{X} , \underline{U} y \underline{Y} corresponden a las desviaciones de x , u y y , respectivamente y ∇ es el operador gradiente, definido por

$$\nabla(\cdot) = \delta(\cdot) / \delta x$$

Esta última simplificación permite escribir finalmente las ecuaciones dinámicas del proceso de la forma siguiente

$$\dot{\underline{X}} = A_0 \underline{X} + \sum_{l=1}^4 U_l A_l \underline{X} + B \underline{U}$$

$\Sigma p:$

$$\underline{Y} = C \underline{X}$$

(III.2)

con:

$$A_0 = \begin{vmatrix} \Theta_4 \bar{u}_3 & \Theta_4 d_2 \bar{u}_3 & 0 & 0 \\ \Theta_1 \bar{u}_2 & -\Theta_1 (\bar{u}_2 + d_2 \bar{u}_3) & \Theta_4 d_3 \bar{u}_3 & 0 \\ 0 & \Theta_2 \bar{u}_2 & -\Theta_2 (\bar{u}_1 + \bar{u}_2 + d_3 \bar{u}_3) & \Theta_2 d_4 \bar{u}_3 \\ 0 & 0 & \Theta_3 (\bar{u}_1 + \bar{u}_2) & -\Theta_3 (\bar{u}_1 + \bar{u}_2 + \bar{u}_3 d_4) \end{vmatrix}$$

$$A_1 = \begin{vmatrix} 0 & 0 & 0 & 0 \\ 0 & 0 & 0 & 0 \\ 0 & 0 & -\Theta_2 & 0 \\ 0 & 0 & \Theta_3 & -\Theta_3 \end{vmatrix}, \quad A_2 = \begin{vmatrix} 0 & 0 & 0 & 0 \\ \Theta_1 & -\Theta_1 & 0 & 0 \\ 0 & \Theta_2 & -\Theta_2 & 0 \\ 0 & 0 & \Theta_3 & -\Theta_3 \end{vmatrix}$$

$$A_3 = \begin{vmatrix} -\Theta_4 & \Theta_4 d_2 & 0 & 0 \\ 0 & -\Theta_1 d_2 & \Theta_1 d_3 & 0 \\ 0 & 0 & -\Theta_2 d_3 & \Theta_2 d_4 \\ 0 & 0 & 0 & \Theta_3 (1-d_4) \end{vmatrix}, \quad A_4 = 0,$$

$$B = \begin{vmatrix} 0 & 0 & \Theta_4 (c_2-x_1) & 0 \\ 0 & -\Theta_1 (\bar{x}_1-\bar{x}_2) & \Theta_1 (c_3-c_2) & 0 \\ -\Theta_2 \bar{x}_3 & \Theta_2 (\bar{x}_2-\bar{x}_3) & \Theta_2 (c_4-c_3) & \Theta_2 \\ \Theta_3 (\bar{x}_3-\bar{x}_4) & \Theta_3 (\bar{x}_3-\bar{x}_4) & \Theta_3 (\bar{x}_4-c_4) & 0 \end{vmatrix}$$

$$C = \begin{vmatrix} 1 & 0 & 0 & 0 \\ 0 & 1 & 0 & 0 \\ 0 & 0 & 0 & 1 \end{vmatrix},$$

donde $\Theta_1 = 1/H$, $\Theta_2 = 1/H_a$, $\Theta_3 = 1/H_b$ y $\Theta_4 = 1/H_d$ (parámetros identificados, véase el capítulo I). Y además,

$$c_j = \frac{\alpha \bar{x}_j}{1 + (\alpha - 1) x_j}, \quad d_j = \frac{\alpha_j}{(1 + (\alpha - 1) x_j)^2}$$

Los valores numéricos de las matrices anteriores para el punto de operación tomado (el mismo para el cual fué identificado el MNLS) son:

$$A_0 = \begin{bmatrix} -0.018 & 0.008 & 0 & 0 \\ 0.006 & -0.012 & 0.007 & 0 \\ 0 & 0.007 & -0.066 & 0.03 \\ 0 & 0 & 0.002 & -0.003 \end{bmatrix},$$

$$A_1 = \begin{bmatrix} 0 & 0 & 0 & 0 \\ 0 & 0 & 0 & 0 \\ 0 & 0 & -0.016 & 0 \\ 0 & 0 & 0.001 & -0.001 \end{bmatrix},$$

$$\begin{aligned}
 A2 &= \begin{bmatrix} 0 & 0 & 0 & 0 \\ 0.012 & -0.012 & 0 & 0 \\ 0 & 0.016 & -0.016 & 0 \\ 0 & 0 & 0.001 & -0.001 \end{bmatrix}, \\
 A3 &= \begin{bmatrix} -0.015 & 0.007 & 0 & 0 \\ 0 & -0.006 & 0.006 & 0 \\ 0 & 0 & -0.007 & 0.025 \\ 0 & 0 & 0 & -0.001 \end{bmatrix}, \quad A4 = 0, \\
 B &= \begin{bmatrix} 0 & 0 & 0 & 0 \\ 0 & 0.002 & -0.001 & 0 \\ -0.006 & 0.007 & -0.005 & 0.016 \\ 0 & 0 & 0 & 0 \end{bmatrix}, \\
 C &= \begin{bmatrix} 1 & 0 & 0 & 0 \\ 0 & 1 & 0 & 0 \\ 0 & 0 & 0 & 1 \end{bmatrix},
 \end{aligned}$$

Este modelo bilineal fué validado con respecto al MNLS utilizando las secuencias de entrada mostradas en la figura

III.1, con variaciones de +/- 10 % en las entradas Lo y Qb , obteniéndose las gráficas de la figura III.2.

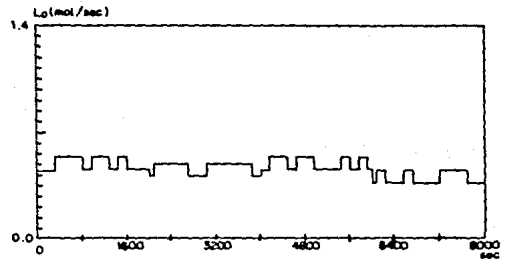
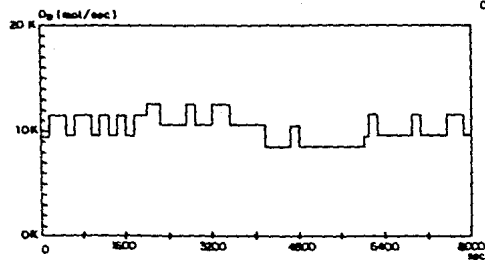
Ya que se construya un estimador del estado basándose en el modelo bilineal dado por (III.2) se presenta enseguida el análisis de observabilidad de ese modelo. Para el análisis se utilizarán los resultados dados en [28].

Si se define la matriz de observabilidad O_n como sigue:

$$O_n = \begin{bmatrix} Q_1 \\ \vdots \\ Q_n \end{bmatrix} \quad \text{donde: } Q_1 = C \quad \text{y} \quad Q_i = \begin{bmatrix} Q_i - 1 A_0 \\ \vdots \\ Q_i - 1 A_m \end{bmatrix} \quad i = 2, 3, \dots, n$$

Entonces, el sistema dado por (III.2) es observable localmente si y sólo si el rango de O_n es igual a n .

Para el modelo bilineal obtenido $n = 4$ y $m = 4$. Así que la matriz O_n queda como



L_o : 0.495 0.450 0.495 0.405
 Q_b : 10500 11550 9450 10500
 Variación de +/- 10 % en L_o y Q_b .
 Cada muestra es de 20 segundos.
 400 muestras en total.

Figura III.1 Entradas de validación para el modelo bilineal simple (MBS).

x_1^B : Composición líquida en el condensador del MBS.
 x_2^B : Composición líquida en el primer plato del MBS.
 x_3^B : Composición líquida en el elemento aglomerado del MBS.

x_4^B : Composición líquida en el calderín del MBS.
 x_3^M : Composición líquida en el elemento aglomerado del MNLS.

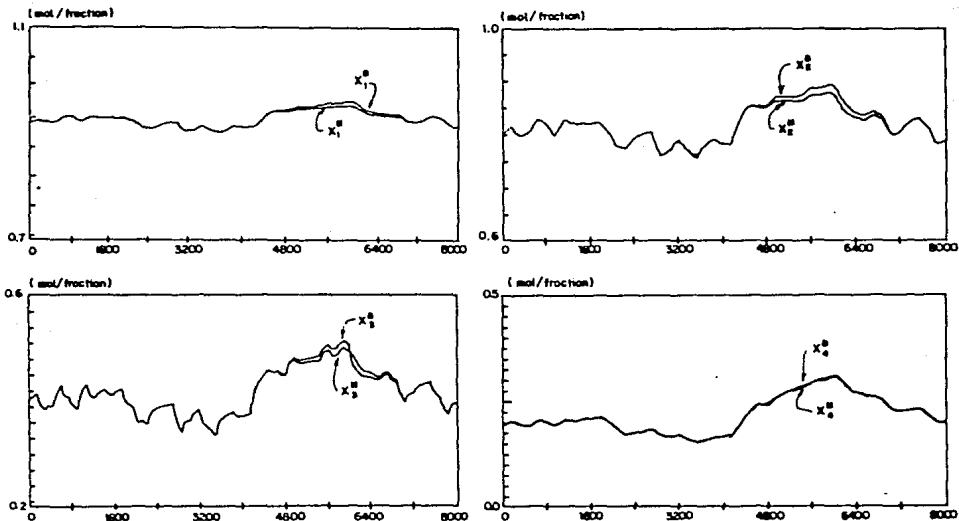


Figura III.2 Salidas de validación para el modelo bilineal simple (MRS).

Cada muestra es de 20 segundos.

400 muestras en total.

$$\mathbf{O_n} = \begin{pmatrix}
 1 & 0 & 0 & 0 \\
 0 & 1 & 0 & 0 \\
 0 & 0 & 0 & 1 \\
 -\Theta_4 \bar{U}_3 & \Theta_4 d_2 \bar{U}_3 & 0 & 0 \\
 \Theta_1 \bar{U}_2 & -\Theta_1 (\bar{U}_2 + d_2 \bar{U}_3) & \Theta_1 d_3 \bar{U}_3 & 0 \\
 0 & 0 & \Theta_3 (\bar{U}_1 + \bar{U}_2) & -\Theta_3 (\bar{U}_1 + \bar{U}_2 + \bar{U}_3(d_4 - 1)) \\
 0 & 0 & 0 & 0 \\
 0 & 0 & 0 & 0 \\
 0 & 0 & 0 & 0 \\
 0 & 0 & \Theta_3 & -\Theta_3 \\
 0 & 0 & 0 & 0 \\
 \Theta_1 & -\Theta_1 & 0 & 0 \\
 0 & 0 & \Theta_3 & -\Theta_3 \\
 -\Theta_4 & \Theta_4 d_2 & 0 & 0 \\
 0 & -\Theta_1 d_2 & \Theta_1 d_3 & 0 \\
 0 & 0 & 0 & \Theta_3 (1 - d_4) \\
 \cdot & \cdot & \cdot & \cdot
 \end{pmatrix}$$

donde los puntos indican más componentes de la matriz O_n .

Las demás filas de la matriz O_n no se escriben porque el tamaño de la matriz es de (468×4) , y además porque con las filas tomadas es suficiente para verificar la observabilidad del modelo bilineal.

Puesto que se requiere que el determinante de O_n sea diferente de cero, se toman 4 filas que sean linealmente independientes entre ellas. Esto sucede por ejemplo, con las filas primera, segunda, tercera y novena con las que se tiene que el determinante formado con ellas es $\Theta_3 \neq 0$. Así que

$$\text{Det}(O_n) = \Theta_3$$

La aproximación bilineal dada por (III.2) es entonces observable, se puede, por lo tanto proceder al diseño de un estimador del estado que se base en ese modelo bilineal.

III.2. Un Observador Asintótico.

En aplicaciones donde se quiere realizar control por retroalimentación del estado es necesario disponer del valor completo del vector de estado. En cualquiera de los modelos de la columna descritos arriba, el primero, segundo y último estado (concentración líquida en el condensador, primer plato y calderín) se tienen disponibles. De esta forma, la concentración líquida en el plato aglomerado debe ser estimada.

Existen en la literatura varios procedimientos para diseñar observadores del estado completos o reducidos para sistemas bilineales [12, 9]. Los resultados más importantes que se muestran aquí son una extensión de los reportados en [9] ya que se consideran sistemas dados por (III.2), donde aparece el término Bu . En el apéndice 2 se da la demostración de estos resultados. Estos resultados fueron aplicados al modelo bilineal de columna de destilación.

El sistema dinámico observador asociado al sistema bilineal (III.2) está dado por:

$$\dot{\hat{z}} = \left(\hat{A} + \sum_{l=1}^m u_l \hat{A}_l \right) \hat{z} + \left(\hat{B} + \sum_{l=1}^m u_l \hat{B}_l \right) \hat{y} + \hat{J}u$$

Σo :

$$\hat{w} = \hat{C} \hat{z} + \hat{D} \hat{y} \quad (III.3)$$

donde \hat{z} y \hat{w} son vectores de tamaños s y r respectivamente.

La existencia y construcción del observador dado por (III.3) está basada principalmente en los teoremas y definiciones siguientes:

Definición III.1

$$\text{Si } \lim_{t \rightarrow \alpha} |\underline{w}(t) - K \underline{x}(t)| = 0 \quad (\text{III.4})$$

$$(i) \quad \begin{matrix} \hat{A} & \hat{C} \\ \text{O} & \text{O} \end{matrix} \underline{U} + \begin{matrix} \hat{B} \\ \text{O} \end{matrix} \underline{C} - \underline{U} \hat{A} = 0$$

$$(ii) \quad \begin{matrix} \hat{A} \\ \text{I} \end{matrix} \underline{U} + \begin{matrix} \hat{B} \\ \text{I} \end{matrix} \underline{C} - \underline{U} \hat{A} = 0, \quad i = 1, \dots, m$$

$$(iii) \quad \begin{matrix} \hat{A} & \hat{A}^T \\ \text{O} & \text{O} \end{matrix} P + \begin{matrix} \hat{A}^T \\ \text{O} \end{matrix} P = -Q$$

$$(iv) \quad \begin{matrix} \hat{A} & \hat{A}^T \\ \text{I} & \text{I} \end{matrix} P + \begin{matrix} \hat{A}^T \\ \text{I} \end{matrix} P = 0, \quad i = 1, \dots, m$$

$$(v) \quad \hat{C} \underline{U} + \hat{D} \underline{C} = K$$

$$(vi) \quad \hat{J} = \underline{U} \hat{B}$$

Se toma cualquier matriz D de tamaño $(n - p) \times n$ tal que

$$\text{rango}(T1) = \text{rango} \begin{vmatrix} C \\ D \end{vmatrix} = n$$

y se realiza un cambio de coordenadas por medio de T1:

$$T1 : \begin{cases} \Sigma p \rightarrow \bar{\Sigma} p \\ (A1, C, B) \rightarrow (\bar{A}1, \bar{C}, \bar{B}) \end{cases}$$

donde

$$\bar{A}1 = T1 A1 T1^{-1} = \begin{vmatrix} \bar{A}11 & \bar{A}12 \\ \bar{A}121 & \bar{A}122 \end{vmatrix}$$

$$\bar{C} = C T1^{-1} = (I_p : 0) \quad (III.5)$$

$$\bar{B} = T1 B = \begin{vmatrix} \bar{B}1 \\ \bar{B}2 \end{vmatrix}$$

con I_p la matriz identidad de dimensión $p \times p$

La matriz U que satisface

$$\text{rango} \begin{pmatrix} \bar{C} \\ U \end{pmatrix} = n$$

puede suponerse que sea $U = (S : I)$. La existencia de un observador estable de orden mínimo ^{n-p} se garantiza por medio del siguiente teorema.

Teorema III.2

Si para algunas matrices simétricas definidas positivas P y Q, existe la matriz S que satisfaga las condiciones siguientes:

$$P \begin{pmatrix} \bar{S} & \\ & \bar{A} \end{pmatrix}_{\substack{o12 \\ o22}} + \begin{pmatrix} \bar{S} & \\ & \bar{A} \end{pmatrix}_{\substack{o12 \\ o22}}^T P = -Q \quad (\text{III.6})$$

$$P \begin{pmatrix} \bar{S} & \\ & \bar{A} \end{pmatrix}_{\substack{i12 \\ i22}} + \begin{pmatrix} \bar{S} & \\ & \bar{A} \end{pmatrix}_{\substack{i12 \\ i22}}^T P = 0, \quad i = 1, \dots, m$$

entonces existe el observador del estado estable de orden mínimo para Σ_p (y, por lo tanto, para Σ_p).

Si S es una matriz que satisface (III.6) se forma

$$T_2 = \begin{vmatrix} I_p & 0 \\ S & I_{n-p} \end{vmatrix}$$

y se aplica otro cambio de coordenadas $\dot{\bar{x}} = T_2 \ddot{x}$

$$T_2 : \begin{cases} \Sigma p \rightarrow \Sigma p \\ (A, C, B) \rightarrow (A, C, B) \end{cases}$$

donde

$$\begin{aligned} \bar{A} &= T_2 A T_2^{-1} \\ &= \begin{vmatrix} \bar{A}_{11} - \bar{A}_{12} S & \bar{A}_{12} \\ S \bar{A}_{11} + \bar{A}_{21} - (S \bar{A}_{12} + \bar{A}_{22}) S & S \bar{A}_{12} + \bar{A}_{22} \end{vmatrix} \\ &= \begin{vmatrix} A_{11} & A_{12} \\ A_{21} & A_{22} \end{vmatrix} \end{aligned}$$

$$\dot{C} = \bar{C} T_2^{-1} = (I_p : 0)$$

$$\dot{B} = T_2 \bar{B}$$

para tener el siguiente resultado importante.

Teorema III.3

Si existe una transformación de base $T_p = T_2 T_1$ que transforma Σ_p en Σ_p , entonces existe un observador de estado estable de orden mínimo para Σ_p dado por

$$\Sigma_p : \begin{cases} \dot{x} = \begin{bmatrix} A_{o11} & A_{o12} \\ A_{o21} & A_{o22} \end{bmatrix} x + \sum_{i=1}^m u_i \begin{bmatrix} A_{i11} & A_{i12} \\ A_{i21} & A_{i22} \end{bmatrix} x + \begin{bmatrix} B_1 \\ B_2 \end{bmatrix} u \\ y = (I_p : 0) x \end{cases} \quad (1)$$

Donde

\dot{A}_0 y \dot{A}_i , $i = 1, \dots, m$ satisfacen

$$P \dot{A}_0 + \dot{A}_0^T P = -Q \quad (III.8)$$

$$P \dot{A}_i + \dot{A}_i^T P = 0, \quad i = 1, \dots, m$$

para algunas matrices simétricas definidas positivas P y Q .

El procedimiento de diseño puede entonces resumirse en los pasos siguientes:

1. Se encuentra la transformación T_1 .
2. Se aplica la transformación T_1 al sistema Σ_p para realizar el cambio de coordenadas

$$T_1 : (A, C, B) \rightarrow (\bar{A}, \bar{C}, \bar{B})$$

3. Con ayuda de una matriz S que satisfaga las condiciones del teorema III.2 se encuentra la transformación T_2

$$T_2 : (\bar{A}, \bar{C}, \bar{B}) \rightarrow (\dot{A}, \dot{C}, \dot{B})$$

4. Finalmente, se obtiene el observador de orden mínimo

Σ_0 para Σ_p (ver apéndice 2)

$$\Sigma_0: \begin{cases} \dot{\mathbf{z}} = (A_{022} + \sum u_i A_{i22}) \mathbf{z} + (A_{021} + \sum u_i A_{i21}) \mathbf{y} + B_2 \mathbf{u} \\ \mathbf{w} = T_p^{-1} \begin{vmatrix} \mathbf{y} \\ \mathbf{z} \end{vmatrix} \end{cases} \quad (\text{III.9})$$

III.3 Un observador lineal.

En esta sección se diseña un observador lineal de la columna de destilación binaria mencionada. Para el diseño del observador se obtiene un modelo lineal de la columna a partir del modelo simple obtenido en el capítulo I, y se aplica a este modelo la teoría de observadores lineales. La validación del modelo lineal obtenido se realiza tomando como referencia el modelo no lineal simple de un punto de operación dado.

III.3.1. Linealización del MNLS.

Para efectos de comparación con el observador bilineal asintótico diseñado de acuerdo a los resultados descritos en la sección III.2, se construyó un observador lineal de

Luenberger. Para lograr ésto fué necesario linealizar el modelo simple alrededor de un punto de operación dado (que fué el que se utilizó para la identificación del MNL del capítulo I), mediante la expansión en su serie de Taylor, obteniéndose un sistema de la forma

$$\begin{aligned} \dot{\underline{X}} &= \underline{A} \underline{X} + \underline{B} \underline{U} \\ \underline{Y} &= \underline{C} \underline{X} \end{aligned} \quad (\text{III.10})$$

con

$$A = \begin{array}{cccc} \frac{\bar{u}_3}{Hd} & \frac{\bar{u}_3 M2}{Hd} & 0 & 0 \\ \frac{\bar{u}_2}{H} & \frac{\bar{u}_3 M2 - \bar{u}_2}{H} & \frac{\bar{u}_3 \bar{M}3}{H} & 0 \\ 0 & \frac{\bar{u}_2}{Ha} & \frac{\bar{u}_2 + \bar{u}_2 + \bar{u}_3 \bar{M}3}{Ha} & \frac{\bar{u}_3 \bar{M}4}{Ha} \\ 0 & 0 & \frac{\bar{u}_1 + \bar{u}_2}{Hb} & \frac{\bar{u}_1 + \bar{u}_2 + \bar{u}_3(\bar{M}4-1)}{Hb} \end{array}$$

$$B = \begin{vmatrix} 0 & 0 & \frac{\bar{y}_2 - \bar{x}_1}{Hd} & 0 \\ 0 & \frac{\bar{x}_1 - \bar{x}_2}{H} & \frac{\bar{y}_3 - \bar{y}_2}{H} & 0 \\ \frac{\bar{x}_1 - \bar{x}_3}{Ha} & \frac{\bar{x}_2 - \bar{x}_3}{Ha} & \frac{\bar{y}_4 - \bar{y}_3}{Ha} & 1 \\ \frac{\bar{x}_3 - \bar{x}_4}{Hb} & \frac{\bar{x}_3 - \bar{x}_4}{Hb} & \frac{\bar{x}_4 - \bar{y}_4}{Hb} & 0 \end{vmatrix}$$

$$C = \begin{vmatrix} 1 & 0 & 0 & 0 \\ 0 & 1 & 0 & 0 \\ 0 & 0 & 0 & 1 \end{vmatrix}$$

$U = (U_1 \ U_2 \ U_3 \ U_4)^T$ el vector de entradas. \underline{X} , \underline{U} y \underline{Y} indican la desviación de los estados, entradas y salidas, de sus valores de operación \bar{x} , \bar{u} y \bar{y} respectivamente y

$$M_j = \frac{\alpha_j - 1}{(1 + (\alpha_j - 1) \bar{x}_j)^2}, \quad y_j = \frac{\alpha_j \bar{x}_j}{1 + (\alpha_j - 1) \bar{x}_j}$$

Sustituyendo valores en A y B se tiene que

$$A = \begin{vmatrix} -0.018 & 0.008 & 0 & 0 \\ 0.006 & -0.012 & 0.007 & 0 \\ 0 & 0.007 & -0.045 & 0.030 \\ 0 & 0 & 0.002 & -0.003 \end{vmatrix},$$

$$B = \begin{vmatrix} 0 & 0 & 0 & 0 \\ 0 & 0.001 & -0.001 & 0 \\ 0.002 & 0.006 & -0.005 & 0.016 \\ 0 & 0 & 0 & 0 \end{vmatrix},$$

$$C = \begin{vmatrix} 1 & 0 & 0 & 0 \\ 0 & 1 & 0 & 0 \\ 0 & 0 & 0 & 1 \end{vmatrix}$$

El modelo lineal fué validado con respecto al MNLS utilizando las mismas secuencias de entradas de la figura III.1, obteniéndose las gráficas de la figura III.3.

Antes de construir el observador lineal se verificó la observabilidad del modelo lineal utilizándose el resultado siguiente

Teorema III.4 [29]

El sistema dado por (III.10) es completamente observable si y sólo si

$$\text{rango } O_o = \text{rango} \begin{pmatrix} C \\ A^T C \\ (A^T)^2 C \\ \dots \\ (A^T)^{n-1} C \end{pmatrix} = n,$$

donde O_o es la matriz de observabilidad que en este caso está dada por

x_1^L : Composición líquida en el condensador del MLS.
 x_2^L : Composición líquida en el primer plato del MLS.
 x_3^L : Composición líquida en el elemento aglomerado del MLS.

x_4^L : Composición líquida en el calderín del MLS.
 x_3^M : Composición líquida en el elemento aglomerado del MNLS.

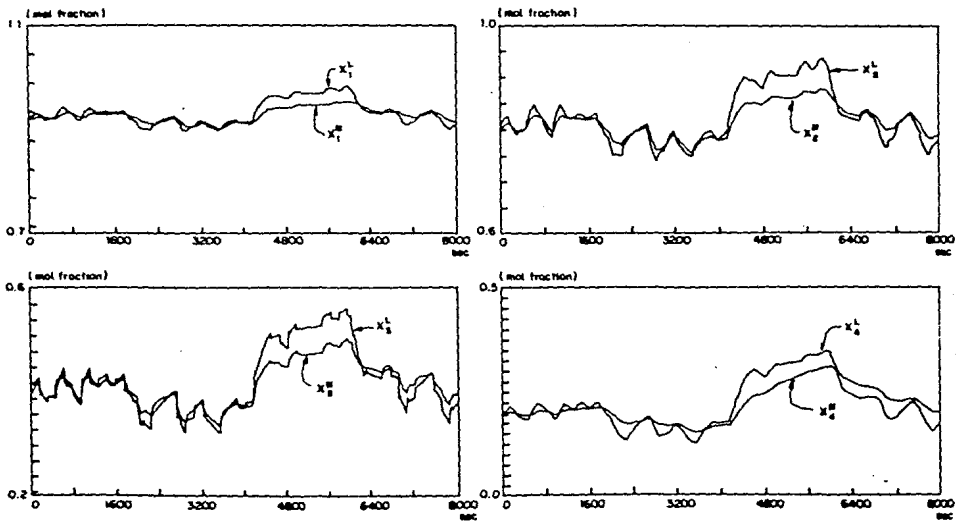
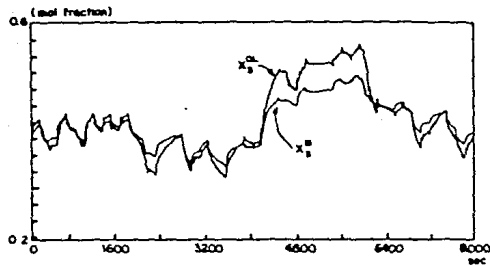


Figura III.3 Salidas de validación para el modelo lineal simple (MLS).

Cada muestra es de 20 segundos.

400 muestras en total.

x_3^{OL} : Composición líquida en el elemento
aglomerado del OL.

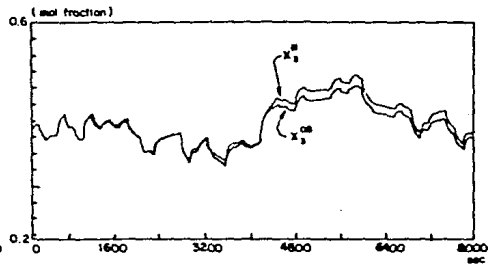


Cada muestra es de 20 segundos.

400 muestras en total

Figura III.4 Salida de validación para el
observador lineal (OL).

x_3^{OB} : Composición líquida en el elemento
aglomerado del OB.



Cada muestra es de 20 segundos.

400 muestras en total.

Figura III.5 Salida de validación para el
observador bilineal (OB).

$$O_o = \begin{pmatrix} 1 & 0 & 0 & \bar{u}_3 & \bar{u}_2 & & 0 & \dots \\ & & & \dots & H & & & \\ 0 & 1 & 0 & \frac{\bar{u}_2 \bar{M}_2}{Hd} & -\frac{\bar{u}_3 \bar{M}_2 + \bar{u}_2}{H} & & 0 & \dots \\ & & & & & & & \\ 0 & 0 & 0 & 0 & \frac{\bar{u}_3 \bar{M}_3}{H} & & \frac{\bar{u}_1 + \bar{u}_2}{Hb} & \dots \\ & & & & & & & \\ 0 & 0 & 1 & 0 & 0 & & -\frac{\bar{u}_1 + \bar{u}_2 + \bar{u}_3(\bar{M}_4 - 1)}{Hb} & \dots \end{pmatrix}$$

donde los puntos indican los elementos restantes de la matriz O_o .

Tomando la primera, segunda, tercera y quinta columnas, se tiene que

$$\text{Det}(O_o) = -\frac{\bar{u}_3 \bar{M}_3}{H}$$

Para que $\text{Det}(O_o) = 0$, \bar{u}_3 y/o \bar{M}_3 deben ser cero, lo cual no ocurre en condiciones normales de operación, por lo que el sistema lineal es completamente observable, lo cual permite asegurar que se puede obtener el observador lineal correspondiente.

III.3.2 Diseño del Observador Lineal.

Considérese un sistema lineal dinámico e invariante en el tiempo descrito por

$$\begin{aligned}\dot{\underline{x}} &= A\underline{x} + B\underline{u} \\ \underline{y} &= C\underline{x}\end{aligned}\tag{III.1}$$

donde \underline{x} es un vector de estado de $n \times 1$, \underline{u} es un vector de entradas de $m \times 1$, \underline{y} es un vector de salidas de 1×1 , A, B, C son matrices con dimensiones $n \times n$, $1 \times n$ respectivamente.

Luenberger [30, 31, 32] ha mostrado que para un sistema descrito por (III.1) un observador de orden $(n-1)$ puede ser construido con ayuda de un estado auxiliar \underline{z} , tal que \underline{z} aproxime una combinación lineal de los estados del sistema dado por $L\underline{x}$, con L de dimensión $(n-1) \times n$. Un observador de orden $(n-1)$ está definido como sigue:

$$\dot{\underline{z}} = D\underline{z} + G\underline{y} + H\underline{u}\tag{III.12}$$

donde D, G, H son matrices constantes con dimensiones $(n-1) \times (n-1)$, $(n-1) \times 1$, $(n-1) \times 1$, respectivamente y L es una transformación que satisface

$$L A - D L = G C$$

El estimado requerido \hat{x} del vector de estado del sistema x es obtenido a partir de z y y como

$$\hat{x} = K_1 y + K_2 z$$

donde K_1 y K_2 satisfacen

$$K_1 C + K_2 L = I_1$$

donde I_1 es una matriz identidad de 1×1 .

Puesto que la teoría sobre observadores lineales está bien estudiada [33], aquí sólo se da un procedimiento resumido para el diseño de observadores lineales de orden mínimo. Dicho procedimiento consiste básicamente en los siguientes pasos.

a) Formar la matriz de observabilidad O_o como

$$O_o = \begin{pmatrix} C \\ C A \\ C A^2 \\ \dots \\ C A^{n-1} \end{pmatrix}$$

b) Formar la matriz auxiliar Γ a partir de las columnas linealmente independientes de O_o de la manera siguiente

$$\Gamma = (c_1, A c_1, \dots, (A)^{\mu_1-1} c_1, c_1, A c_1, \dots, (A)^{\mu_l-1} c_l)$$

donde c_1, \dots, c_l son las columnas de la matriz C y μ_1, \dots, μ_l son los índices de observabilidad del sistema dado.

c) A partir de la inversa de Γ determinar la matriz de transformación T , como sigue

Sea la descripción de Γ^{-1} en términos de sus filas, es decir

$$\Gamma^{-1} = \begin{pmatrix} \tau \\ \gamma_1 \\ \vdots \\ \dot{\tau} \\ \gamma_n \end{pmatrix}$$

Y sea γ_{ki} la ki -ésima fila de Γ^{-1} , donde

$$k_i = \sum_{j=1}^i \mu_j \quad ; \quad j = 1, \dots, l$$

T

Entonces, usando los vectores γ_{k1} , la matriz de transformación T queda como

$$T = (\gamma_{k1}, A\gamma_{k1}, \dots, A^{\mu-1}\gamma_{k1}, \gamma_{k2}, A\gamma_{k2}, \dots, A^{\mu-1}\gamma_{k2})$$

d) La forma estándar observable de (A, B, C) está entonces dada por

$$\bar{A} = T^{-1} A T$$

$$\bar{B} = T^{-1} B$$

$$\bar{C} = C T$$

e) A partir de \bar{C} obtener \hat{P} y \hat{C} . \hat{P} es una matriz de 1×1 formada de las columnas de cero de \bar{C} , mientras que \hat{C} está dada por

$$\hat{C} = \hat{P}^{-1} \bar{C}$$

f) Inspeccionar los bloques diagonales \bar{A}_{ii} y especificar la forma correspondiente de las matrices \bar{D}_{ii} , que son de un orden menor en uno que las matrices \bar{A}_{ii} , para obtener la dinámica deseada. Los bloques \bar{D}_{ij} , i diferente de j , son nulos.

g) Construir la matriz $\bar{L} = L^T$ como una matriz diagonal de bloques

$$\bar{L} = \text{diag} (\bar{L}_{ii}),$$

donde cada bloque diagonal \bar{L}_{ii} es de $(\mu_i - 1) \times \mu_i$ y tiene la forma

$$\bar{L}_{ii} = (1 \ \mu_i - 1 : \delta_i)$$

y el vector columna δ_i es la última columna en el bloque correspondiente \bar{D}_{ii} . Los bloques \bar{L}_{ij} , i diferente de j son nulos.

h) Resolver la ecuación matricial

$$\bar{L} \bar{A} - \bar{D} \bar{L} = \bar{G} \bar{C}$$

para \bar{G} , y entonces obtener $\bar{G} = \bar{G} P^{-1}$.

b) La matriz auxiliar a partir de las columnas independientes de O_0 vale:

$$\Gamma = \begin{vmatrix} 1 & 0 & 0.006 & 0 \\ 0 & 1 & -0.012 & 0 \\ 0 & 0 & 0.007 & 0 \\ 0 & 0 & 0 & 1 \end{vmatrix}$$

c) Los índices mínimos son $\mu_1=1, \mu_2=2$ y $\mu_3=1$, Γ^{-1} es

$$\Gamma^{-1} = \begin{vmatrix} 1 & 0 & -0.823 & 0 \\ 0 & 1 & 1.837 & 0 \\ 0 & 0 & 147.676 & 0 \\ 0 & 0 & 0 & 1 \end{vmatrix}$$

Se forma entonces la matriz de transformación T como ($k_1=1, k_2=3, k_3=4$)

$$T = \begin{vmatrix} 1 & 0 & 0 & 0 \\ 0 & 0 & 1 & 0 \\ -0.823 & 147.676 & -6.612 & 0 \\ 0 & 0 & 0.303 & 1 \end{vmatrix}$$

d) La forma canónica deseada es entonces obtenida como

$$A^{-1} = \begin{vmatrix} -0.0182 & 0 & 0.0083 & 0 \\ 0.0001 & 0 & 0 & 0 \\ 0 & 1 & -0.0572 & 0 \\ -0.0017 & 0 & 0.0029 & -0.0026 \end{vmatrix}$$

$$B = \begin{vmatrix} 0 & 0 & 0 & 0 \\ 0 & 0 & 0 & 0 \\ 0 & 0.001 & 0 & 0 \\ 0 & 0 & 0 & 0 \end{vmatrix}$$

$$C = \begin{vmatrix} 1 & 0 & 0 & 0 \\ 0 & 0 & 1 & 0 \\ 0 & 0 & 0.303 & 1 \end{vmatrix}$$

e) A partir de las columnas no nulas de \bar{C} se obtiene

$$P = \begin{vmatrix} 1 & 0 & 0 \\ 0 & 1 & 0 \\ 0 & 0.303 & 1 \end{vmatrix}$$

\hat{A}
y \hat{C} es

$$\hat{C} = \begin{vmatrix} 1 & 0 & 0 & 0 \\ 0 & 0 & 1 & 0 \\ 0 & 0 & 0 & 1 \end{vmatrix}$$

f) Puesto que los valores propios de A son

$$-0.001, -0.007, -0.022, -0.047,$$

se escogen los valores propios del observador (de orden $n - 1 = 1$) como -0.06 . Así, la matriz D del observador está especificada en forma diagonal compañera (matriz cuyos bloques diagonales tienen la forma compañera) como

$$D = -0.06$$

Se escogió así $D = -0.06$ ya que este valor es uno de los que dieron mejores resultados en la simulación.

g) La matriz \bar{L} queda entonces definida como

$$L = (0.0 \quad 1.0 \quad -0.06 \quad 0.0)$$

h) Resolviendo la ecuación matricial $\overline{L\dot{A}} - \overline{D\dot{L}} = \overline{GC}$ para \overline{G} , se obtiene

$$\overline{G} = \begin{pmatrix} 0.0001 & -0.0006 & 0.0002 \end{pmatrix}$$

y entonces

$$\overline{G} = \begin{pmatrix} 0.0001 & -0.0006 & 0.0002 \end{pmatrix}$$

i) \overline{L} queda como

$$\overline{L} = \begin{pmatrix} 0.006 & -0.015 & 0.007 \end{pmatrix}$$

y como \overline{H}

$$\overline{H} = \begin{pmatrix} 0 & 0 & 0 & 0.0001 \end{pmatrix}$$

j) Utilizando \overline{L} , \overline{C} y \overline{T} , K_1 y K_2 son

$$| K_1 \ K_2 | = \begin{vmatrix} 1 & 0 & 0 & 0 \\ 0 & 1 & 0 & 0 \\ -0.823 & 2.248 & 0 & 147.677 \\ 0 & 0 & 1 & 0 \end{vmatrix}$$

Así, el observador requerido es

$$\dot{z} = -0.06 z + (0.0001 \ -0.0006 \ 0.0002) y + (0 \ 0 \ 0 \ 0.0001)u$$

dando x como

$$\hat{x} = \begin{vmatrix} 1 & 0 & 0 \\ 0 & 1 & 0 \\ -0.823 & 2.248 & 0 \\ 0 & 0 & 1 \end{vmatrix} y + \begin{vmatrix} 0 \\ 0 \\ 147.677 \\ 0 \end{vmatrix} z$$

En la figura III.4 se muestra la respuesta del observador de Luenberger así como la respuesta del tercer estado del MNLS, para las entradas de la figura III.1.

Si se define el error cuadrático medio como

$$\text{err} = \sqrt{\frac{1}{N} \sum_{k=1}^N \frac{e_k^2}{k}} \quad (\text{III.13})$$

y la relación entre salida y ruido del sistema en función del error como

$$S/R = \sqrt{\frac{1}{N} \sum_{k=1}^N \underline{y}_k \underline{y}_k} / \text{err} \quad (\text{III.14})$$

donde T es la transpuesta del vector

$$\underline{e}_k = \begin{pmatrix} y1 \text{ (MNLS)} - y1 \text{ (MLS)} \\ y2 \text{ (MNLS)} - y2 \text{ (MLS)} \\ y3 \text{ (MNLS)} - y3 \text{ (MLS)} \end{pmatrix}_k$$

y \underline{e}_k y \underline{y}_k son los valores que toman el vector error y las salidas (del MNLS y del modelo lineal simple (MLS)), respectivamente en el instante k, siendo N el número de muestras total, entonces, para el observador lineal obtenido.

$$\text{err} = 2.48 \%, \quad S/R = 17.17$$

III.4 Realización y Pruebas del Observador Bilineal Asintótico.

Al aplicar el procedimiento de diseño de observadores bilineales al modelo bilineal de la columna de destilación de la sección III.1, se obtuvieron los siguientes resultados:

$$T1 = \begin{vmatrix} 1 & 0 & 0 & 0 \\ 0 & 0 & 0 & 1 \\ 0 & 1 & 0 & 0 \\ 1 & 1 & 1 & 1 \end{vmatrix}$$

$$S = \begin{vmatrix} 0 & 16.54 & -0.28 \end{vmatrix}$$

$$T2 = \begin{vmatrix} lp & 0 \\ s & ln - p \end{vmatrix}$$

$$\dot{z} = (A_{o22} + U_1 A_{122} + U_2 A_{222} + U_3 A_{322}) z + (A_{o21} + U_1 A_{121} + U_2 A_{221} + U_3 A_{321}) y + B_2 u$$

$$\underline{w} = T_p^{-1} \begin{vmatrix} y \\ z \end{vmatrix} \quad (III.15)$$

donde

$$A_{o22} = 0 \quad A_{o21} = \begin{bmatrix} -0.011 & 0.008 & -0.017 \end{bmatrix}$$

$$A_{122} = 0 \quad A_{121} = \begin{bmatrix} 0 & 0 & -0.016 \end{bmatrix}$$

$$A_{222} = 0 \quad A_{221} = \begin{bmatrix} 0.016 & 0 & -0.016 \end{bmatrix}$$

$$A_{322} = 0 \quad A_{321} = \begin{bmatrix} -0.015 & 0 & 0.016 \end{bmatrix}$$

$$B = \begin{bmatrix} -0.003 & 0.016 & -0.012 & 0.016 \end{bmatrix}$$

$$T_p^{-1} = \begin{bmatrix} 1 & 0 & 0 & 0 \\ 0 & 1 & 0 & 0 \\ -1 & -1 & -1.285 & -17.546 \\ 0 & 0 & 1 & 0 \end{bmatrix}$$

Para validar el observador bilineal obtenido se utilizaron las mismas secuencias de entradas de la figura III.1, obteniéndose las gráficas de la figura III.5.

Los valores para el error y la relación entre salida y error fueron en este caso

$$\text{err} = 1.01 \%, \quad \text{S/R} = 40.82$$

De estos valores y de los obtenidos para el observador lineal se observa que efectivamente el observador bilineal diseñado es una mejor aproximación que el lineal ya que la relación S/R (por su mayor valor) nos dice que la cantidad de señal medida es mayor que el promedio del ruido.

De la figura III.5 se puede ver que el comportamiento del observador es bastante bueno ya que aproxima en forma precisa el comportamiento del estado x_3 del MNLS.

Comentarios.

En este capítulo se obtuvo un modelo bilineal, que es una segunda aproximación del MNLS, obtenido en el capítulo I. Este modelo presenta una aproximación mucho mejor que el correspondiente lineal, obtenido también aquí.

Comparando los resultados obtenidos en simulación entre el modelo bilineal y el lineal (figuras III.2 y III.3) se observó que el modelo bilineal es una mejor aproximación del proceso de destilación, debido a que las entradas tienen una acción multiplicativa-paramétrica (reguladores de la dinámica local) y aún más, entran de una manera lineal en la ecuación de estado cuando la eficiencia de cada plato (coeficiente que toma en cuenta la imposibilidad de reproducir un equilibrio líquido-vapor ideal en cada plato) es considerada constante.

Se comprobó que los modelos obtenidos son observable. Construyéndose los observadores bilineal y lineal para cada caso con el objeto de hacer una comparación.

Se estableció también la teoría necesaria para abordar el problema de diseño de observadores bilineales, obteniéndose extensiones de los resultados obtenidos en (9). Con el modelo bilineal y la teoría establecida, se obtuvo el observador bilineal correspondiente.

A partir de las simulaciones realizadas, se observó que para un mismo conjunto de entradas (figuras III.4 y III.5, los valores del error y señal a error) el observador bilineal es una mejor aproximación que el correspondiente lineal.

CAPITULO IV

IMPLEMENTACION DEL OBSERVADOR EN UN ESQUEMA DE CONTROL DISTRIBUIDO.

Debido al incremento del costo de los combustibles en los últimos años se han realizado recientemente estudios para obtener un control de calidad que permita resolver el problema siguiente en los procesos de destilación. ¿Cómo es que las composiciones líquidas en la cabeza y en el calderín de la columna varían, aún si esta última composición no se conoce?

Uno de los métodos de diseño más usado por los ingenieros químicos para resolver el problema mencionado es el análisis por arreglo de ganancias relativo [4], el cual minimiza las interacciones estáticas entre los lazos de control. Sin embargo, una mínima interacción estática no necesariamente significa que las interacciones dinámicas sean pequeñas. Esto último motivó el trabajo de Takamatsu [5], donde se utiliza un modelo linealizado de una columna de destilación binaria aplicándose la aproximación geométrica de Wonham [6] para diseñar una ley de control lineal por retroalimentación del estado que rechaza perturbaciones. Desafortunadamente, este último método se adapta bien solamente a columnas de destilación con un número reducido de platos y no es suficientemente robusto cuando este número aumenta.

Por otro lado, se ha logrado una mejora significativa del esquema de control para rechazo a perturbaciones (PRP) con la extensión no lineal de Gauthier [7] la cual está basada en la aproximación geométrica no lineal de Isidori [8] utilizando un modelo simple de la columna de destilación binaria. A partir de ese trabajo y del resultado obtenido por Moog [34] para el caso en que una parte de las perturbaciones sea medible, en este capítulo se diseña un esquema de control que resuelve el problema del rechazo a perturbaciones con medición parcial de ellas (PRPM) para una columna de destilación cuando se utiliza un modelo no lineal simple de 4 estados. Del diseño obtenido, es evidente la necesidad de introducir un observador del estado reducido para estimar una de las concentraciones líquidas en la columna por lo que se introduce el observador asintótico descrito en el capítulo III dentro del esquema de control para rechazo a perturbaciones.

El capítulo está organizado como sigue, primero se establece el PRP para sistemas no lineales descritos por (8,35)

$$\dot{x} = f(x) + G(x)u + P(x)w \quad (IV.1a)$$

$$y = h(x) \quad (IV.1b)$$

dándose algunos resultados sobre la existencia de una ley de control por retroalimentación del estado que resuelve el problema (sección IV.1). Enseguida se muestra la aplicación de esos resultados al modelo simple de la columna de destilación binaria tratado en el capítulo I (sección IV.2), para los siguientes casos:

$$\underline{y} = (x_1 \ x_4)^T$$

$$\underline{y} = (x_2 \ x_4)^T$$

$$\underline{y} = (x_2 \ x_4) \quad \text{y } L_1 \text{ medible.}$$

La introducción del observador asintótico en el esquema de control retroalimentado se trata en la sección IV.3. En la sección IV.4 se muestran algunos resultados obtenidos en simulación al utilizar dicho esquema de control y estimación junto con algunos comentarios finales.

IV.1. Una Ley de Control para Rechazo a Perturbaciones en Sistemas no Lineales.

Se considerarán sistemas descritos por (IV.1) en los cuales el estado $\underline{x} \in R^n$, la entrada $\underline{u} \in R^m$, la perturbación $\underline{w} \in R^p$, y la salida $\underline{y} \in R^p$. Las columnas $\underline{g}_1, \dots, \underline{g}_m$ de la matriz G y $\underline{p}_1, \dots, \underline{p}_r$ de la matriz P son campos vectoriales completos y suaves sobre R^n . La entrada adicional \underline{w} representa una señal de perturbación que afecta el comportamiento del sistema a través de \underline{p} . \underline{w} en general no puede ser ni controlada ni medida. El problema consiste básicamente en examinar la posibilidad de escoger una señal de entrada

$$\underline{u} = \begin{pmatrix} u_1 \\ \vdots \\ u_p \end{pmatrix}$$

de manera que la salida \underline{y} no sea afectada por las señales de perturbación \underline{w} . Ya que en principio no es posible medir directamente \underline{u} , se utiliza un esquema de control realimentado de tal forma que la evolución de \underline{u} en el tiempo dependa del estado \underline{x} o de la salida \underline{y} del sistema. La ley de control simple que permite resolver el problema utiliza una retroalimentación no dinámica del estado de la forma

$$u_i = \alpha_i(\underline{x}) + \sum_{j=1}^m \beta_{ij}(\underline{x}) u_j', \quad (i=1, \dots, m) \quad (\text{IV.2a})$$

o, en forma equivalente,

$$\underline{u} = \alpha(\underline{x}) + \beta(\underline{x}) \underline{u}' \quad (\text{IV.2b})$$

(figura IV.1). α y β son funciones suaves de \mathbb{R}^n en \mathbb{R}^m . Las nuevas entradas u_j' se introducen para mantener la posibilidad de control sobre la evolución de \underline{y} en casos en que se quiere lograr un objetivo adicional al de rechazo a

perturbaciones. Para que las propiedades del control original no se pierdan, se escoge la matriz β (β (x) de modo que sea invertible en coordenadas locales alrededor de algún punto x (β (x) es no singular). El objetivo consiste, entonces, en obtener un sistema en el que, para cada estado inicial x (o) dado y cada entrada u , se tenga una salida y que sea independiente de la perturbación w . O sea, que para un mismo par $(x(o), u)$, dos perturbaciones w' y w'' distintas de un lugar a una misma salida y . Este es el llamado "problema de rechazo a perturbaciones por realimentación no dinámica del estado" (PRP).

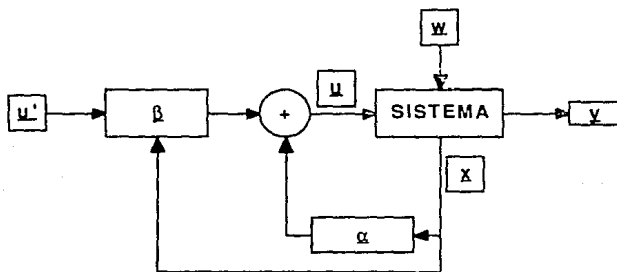


Figura IV.1 Esquema de control correspondiente a la ecuación IV.2a y IV.2b

Desde un punto de vista formal el problema puede tratarse de varias maneras, de acuerdo a la naturaleza más o menos restrictiva del análisis que se haga. Aquí sólo se establecerá y usará la formulación local del problema [36], es decir, encontrar funciones α_i , β_{ij} de retroalimentación y una

distribución Δ que sea invariante (ver apéndice 3) bajo los campos vectoriales siguientes

$$\tilde{f}(x) = f(x) + \sum_{i=1}^m \alpha_i(x) q_i(x) \quad (IV.3)$$

$$\tilde{q}_i(x) = \sum_{j=1}^m \beta_{ij}(x) q_j(x) \quad i = 1, \dots, m \quad (IV.4)$$

que contenga a los campos vectoriales (ver apéndice 3) p_i , con $i = 1, \dots, r$, y se encuentre contenida en el Ker (dh). Esto es, que sea invariante controlada. dh es la diferencia de \underline{h} , $dh = \delta \underline{h} / \delta \underline{x}$. Mientras que los campos vectoriales definidos por (IV.3) y (IV.4) caracterizan al sistema dado por (IV.1) bajo el control dado por (IV.2). Se tiene, por lo tanto, una dinámica que, en un abierto $U \subset \mathbb{R}^n$, puede ser descrita por ecuaciones de la forma

$$\dot{x} = \tilde{f}_1(x_1, x_2) + \sum_{i=1}^{p-1} \tilde{g}_i(x_1, x_2) u_i + \sum_{i=1}^r p_i(x_1, x_2) w_i$$

$$\dot{x}_2 = f_2(x_2) + \sum_{i=1}^{m-1} g_i(x_2) u_i$$

$$x_1 = h(x_2)$$

Se tiene el siguiente teorema de existencia local:

Teorema IV.11 (6)

Si se define sobre un abierto U_0 de \mathbb{R}^n una distribución involutiva Δ (ver apéndice 3) de rango constante que cumpla las condiciones:

(i) Δ sea (f, g) -invariante.

(ii) $g_i \in \Delta \perp \text{Ker}(dh)$ $i = 1, \dots, r$.

entonces para todo $x_0 \in U_0$ existe un abierto U de x_0 en U_0 donde el problema de rechazo a perturbaciones admite una solución local. Inversamente, si el problema de rechazo a perturbaciones tiene una solución local en un abierto U de \mathbb{R}^n , es posible definir sobre U una distribución involutiva de rango constante que cumple las condiciones (i) y (ii).

Al examinar con cuidado el teorema anterior es claro que un problema central en la teoría del rechazo a perturbaciones es el de poder determinar si la familia de distribuciones (f, g) -invariantes e involutivas, que está contenida en el $\ker(dh)$ y que contiene los campos vectoriales p_1, \dots, p_r es vacía o no. Esto es, si la familia de distribuciones mencionadas, existe un

elemento máximo Δ (un elemento que contiene a todos los otros miembros de la familia). Si esto se cumple, entonces el problema se reduce a verificar que $p_l \in \Delta$, para $l = 1, \dots, r$.

Cuando se usan distribuciones "locales" invariante-mente controladas la existencia de Δ puede ser mostrada bajo ciertas condiciones no muy fuertes y puede ser calculada explícitamente a partir de representaciones locales de los campos vectoriales f, q_1, \dots, q_m y de la función h como sigue.

Se introduce las funciones

$$(L_{q_1}^k h), (L_{q_2}^k h), \dots, (L_{q_m}^k h), \quad i=1, \dots, p. \quad (IV.5)$$

donde $L_z^k(x)$ es la derivada de Lie de una función suave $s(x)$ con respecto al campo vectorial z .

Estas funciones se obtienen al actuar sobre la función h con respecto a los campos vectoriales f, g_1, \dots, g_m, k veces. Sea ρ_i el valor más pequeño de k para el menos una de las funciones (IV.5) no es idénticamente nula sobre un abierto de R^n ; si todas las funciones son idénticamente nulas sobre ese abierto para cualquier k , se hace $\rho_i = \alpha$.

Supóngase que $\rho_i < \alpha$, sea $A(x)$ la matriz cuyos elementos $a_{ij}(x)$ están dados por

$$a_{ij}(x) = L_{g_j}^{\rho_i} h(x) \quad (IV.6)$$

y $b(x)$ el vector columna con componentes $b_i(x)$ (8):

$$b_i(x) = L_f^{\rho_i + 1} h(x) \quad (IV.7)$$

Se tiene entonces el siguiente teorema de construcción (8)

Teorema IV.2

Supóngase que $\rho_i < \alpha$ para cada $i = 1, \dots, p$ y que el rango de $A(x)$ sea igual a la dimensión de $y = h(x)$ para cada x en

un abierto U de R . Entonces, la máxima distribución local (f, g) -invariante contenida en el $\text{Ker}(dh)$ está dada por

$$\Delta(x) = \prod_{k=1}^k \prod_{l=1}^{p_l} \text{Ker}(dL_h)(x), \quad l=1, \dots, p, \quad (\text{IV.8})$$

y las funciones de realimentación $\alpha(x)$ y $\beta(x)$ que dejan esta distribución invariante son soluciones cualesquiera de

$$A(x)\alpha(x) = -b(x) \quad (\text{IV.9a})$$

$$A(x)\beta(x) = C \text{ (matriz constantes)} \quad (\text{IV.9b})$$

En muchos casos reales (columnas de destilación, por ejemplo), algunas de las entradas de perturbación corresponden a variables físicas que pueden ser medidas. Esta consideración de perturbaciones medibles pueden proporcionar una solución del problema de rechazo a perturbaciones que no existiría si no se pudiera medir dichas señales.

Para el problema de rechazo a perturbaciones con medición parcial de ellas (PRPM) se considera la ley de control siguiente (34)

$$u(x) = \alpha(x) + \beta(x)u' + \gamma(x)w \quad (\text{IV.10})$$

con $\underline{\alpha}(\underline{x})$ y $\underline{\beta}(\underline{x})$ definidas como antes y $\gamma(\underline{x})$ una matriz de tamaño $m \cdot r$.

La i ésima columna de $\gamma(\underline{x})$ está asociada a la perturbación w_i . Supóngase que las r perturbaciones, las primeras r_1 corresponden a perturbaciones medibles y las últimas $r_2 = r - r_1$ columnas a las perturbaciones no medibles. Entonces, las últimas r_2 columnas de la matriz $\gamma(\underline{x})$ deben ser nulas en todo instante. El diagrama correspondiente a esta ley de control se muestra en la figura IV.2.

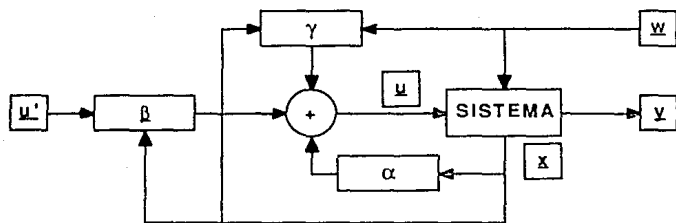


Figura IV.2 Esquema de control correspondiente a la ecuación IV.10.

Bajo estas condiciones, el teorema siguiente es una extensión del teorema IV.1 (34).

Teorema IV.3

Si se define una distribución regular Δ (ver apéndice 3) sobre un abierto U_0 de \mathbb{R}^n tal que se cumplan las siguientes condiciones:

$$(I) \quad \Delta \text{ es } (f, g)\text{-invariante}$$

$$(II) \quad \Delta \subset \text{Ker}(dh)$$

$$(III) \quad \tilde{P} \subset \Delta$$

donde \tilde{P} es la matriz modificada dada por:

$$\tilde{P}(x) = P(x) + G(x)(x) \quad (IV.11)$$

entonces para todo $x_0 \in U_0$, existe un abierto U de x_0 , $U \subset U_0$ sobre el cual el PRPM admite localmente una solución. Recíprocamente, si el PRPM admite localmente una solución en un abierto U de \mathbb{R}^n , entonces puede definirse sobre U una distribución regular que cumple las condiciones (I), (II) y (III).

IV.2. Aplicación a una Columna de Destilación.

El modelo considerado es el obtenido en el capítulo I y dado por:

$$\dot{x} = \sum_{i=1}^2 g_i(x) u_i + \sum_{i=1}^2 p_i(x) w_i \quad (IV.12a)$$

$$y = h(x) \quad (IV.12b)$$

donde

$$g^1(x) = \begin{array}{|c} 0 \\ \hline x_1 - x_2 \\ \hline H \\ \hline x_2 - x_3 \\ \hline H_a \\ \hline x_3 - x_4 \\ \hline H_b \end{array}, \quad g^2(x) = \begin{array}{|c} M_2 \quad x_2 - x_1 \\ \hline H_d \\ \hline M_3 \quad x_3 - M_2 \quad x_2 \\ \hline H \\ \hline M_4 \quad x_4 - M_3 \quad x_3 \\ \hline H_a \\ \hline x_4 - M_4 \quad x_4 \\ \hline H_b \end{array}$$

$$p^1(x) = \begin{vmatrix} 0 \\ 0 \\ \frac{x^3}{Ha} \\ \frac{x^3-x^4}{Hb} \end{vmatrix}, \quad p^1(x) = \begin{vmatrix} 0 \\ 0 \\ \frac{1}{Ha} \\ 0 \end{vmatrix},$$

$$u = \begin{vmatrix} u_1 \\ u_2 \end{vmatrix} = \begin{vmatrix} L_0 \\ V \end{vmatrix}, \quad w = \begin{vmatrix} w_1 \\ w_2 \end{vmatrix} = \begin{vmatrix} L_f \\ x_f \cdot L_f \end{vmatrix},$$

con H_d , H , H_a y H_b constantes reales; M_j es el coeficiente de equilibrio en el elemento j del modelo (véase la sección 1.2 para más detalles).

En lo que sigue se obtienen varias soluciones del PRP utilizando el modelo dado por (IV.12) para distintos vectores de salida.

Caso 1: $y \equiv (x^1 \ x^4)^T$.

Para p_1

$$\begin{matrix} k \\ L \ L \\ g_1 \ f \end{matrix} h_1 = 0 \quad \text{para } k > 0$$

$$\begin{matrix} 0 \\ L \ L \\ g_2 \ f \end{matrix} h_1 = \begin{matrix} L \\ g_2 \end{matrix} h_1 = \frac{M_2 \ x_2 - x_1}{H_d}$$

$$\begin{matrix} 1 \\ L \ L \\ g_2 \ f \end{matrix} h_1 = 0, \quad \begin{matrix} 2 \\ L \ L \\ g_2 \ f \end{matrix} h_1 = 0, \dots, \text{etc.}$$

En general $(M_2 \ x_2 - x_1)/h_d$ es diferente de cero con excepción del estado estacionario, por lo que $p_1 = 0$.

Para p_2

$$\begin{matrix} 0 \\ L \ L \\ g_2 \ f \end{matrix} h_2 = \begin{matrix} L \\ g_2 \end{matrix} h_2 = \frac{x_3 - x_4}{H_b},$$

$$L_{g1}^1 h2 = 0, \dots, \text{etc.}$$

$$L_{g2}^0 h2 = L_{g2} h2 = \frac{x4 - M4 x4}{Hb},$$

$$L_{g2}^0 h1 = 0, \dots, \text{etc.}$$

Entonces $\rho2 = 0$.

La distribución máxima invariante se obtiene de la ecuación (IV.8) y en este caso es

$$\begin{aligned} \Delta(x) &= \prod_{1 \leq i \leq 2} \prod_{k \leq p_i} \ker(d L h_i)(x) = \ker(dh1)(x) \ker(dh2)(x) \\ &= \ker(dh)(x) = \{ \underline{x} \in T_x R^n : v1 = 0, v4 = 0 \} \end{aligned}$$

donde $T_x R^n$ es el vector tangente (ver apéndice 3) a R^n en \underline{x} .

Se observa que $p_1 \in \Delta$ y que $p_2 \in \Delta$. Es decir, se puede rechazar la perturbación w_2 ($Lf \cdot xf$), pero no w_1 (Lf).

La ley de control que permite el rechazo de w_2 se calcula a partir de la ecuación (IV.2), donde el par $(\alpha$ y $\beta)$ se obtiene de las ecuaciones (IV.6), (IV.7) y (IV.9).

De las ecuaciones (IV.6) y (IV.7) se tiene que $A(\underline{x})$ y $b(\underline{x})$ están dadas por

$$A(\underline{x}) = \begin{bmatrix} 0 & (M_2 x_2 - x_1)/H_d \\ (x_3 - x_4)/H_b & (x_4 - M_4 x_4)/H_b \end{bmatrix}, \quad b(\underline{x}) = \underline{0}$$

Y, por lo tanto, una solución para α y β es

$$\alpha(\underline{x}) = \underline{0},$$

$$\beta(\underline{x}) = \frac{1}{D_1} \begin{bmatrix} \beta_{11}(\underline{x}) & \beta_{12}(\underline{x}) \\ \beta_{21}(\underline{x}) & \beta_{22}(\underline{x}) \end{bmatrix}$$

con

$$\beta_{11}(\underline{x}) = H_b c_{21} (M_2 x_2 - x_1) - H_d c_{11} (x_4 - M_4 x_4)$$

$$\beta_{21}(\underline{x}) = H_d c_{11} (x_3 - x_4)$$

$$\beta_{12}(\underline{x}) = H_b c_{22} (M_2 x_2 - x_1) - H_d c_{11} (x_4 - M_4 x_4)$$

$$\beta_{22}(\underline{x}) = H_d c_{12} (x_3 - x_4)$$

$D_1 = (x_3 - x_4) (M_2 x_2 - x_1)$ y los c_{ij} son los componentes de la matriz constante de control C (véase la ecuación (IV.9b)).

Se tiene finalmente que la señal de control \underline{u} es

$$u_1 = \frac{1}{(M_2 x_2 - x_1) (x_3 - x_4)} \{ [H_b c_{21} (M_2 x_2 - x_1) - H_d c_{11} (x_4 - M_4 x_4)] u_1$$

$$+ [H_b c_{22} (M_2 x_2 - x_1) - H_d c_{11} (x_4 - M_4 x_4)] u_2 \}$$

$$u_2 = \frac{1}{(M_2 x_2 - x_1)} (H_d c_{11} u_1 + H_d c_{12} u_2) \quad (IV.13)$$

Y la nueva dinámica para x_1 y x_4 es ahora

$$\begin{aligned} \dot{x}_1 &= c_{11} u_1 + c_{12} u_2 \\ \dot{x}_4 &= c_{21} u_1 + c_{22} u_2 + (x_3 - x_4) L_f \end{aligned} \quad (IV.14)$$

Se observa que Lf y $Lf * xf$ son rechazadas en $x1$ mientras que sólo $Lf * xf$ se rechaza en $x4$. Si se toma en cuenta que, en la práctica, es importante regular la concentración de cabeza, $x1$, el resultado obtenido es interesante. Sin embargo, la realización del control presenta un problema más importante, pues tanto $u1$ como $u2$ son funciones de

$$1 / (M2 x2-x1),$$

que tiende a infinito conforme el sistema se aproxima a un estado estacionario. Esta limitante sugiere otra solución alterna en el tratamiento del problema.

Caso 2: $y = (x2 \ x4)^T$

Ahora no se tiene una medición de $x1$ sino de $x2$. Esta elección es adecuada si se tiene en cuenta que $x1$ depende directamente de $x2$ (véase la ecuación (IV.12)). Es evidente que si se tiene una buena regulación de $x2$ (con respecto a variaciones en las perturbaciones Lf y $Lf * xf$), puede esperarse una buena regulación de $x1$.

Siguiendo el procedimiento del caso anterior se tiene ahora que $p1$ y $p2 = 0$ y que la máxima distribución local invariante es

$$\Delta(x) = (\forall \epsilon \in T_{xR}^n : v2 = 0 \text{ y } v4 = 0) \quad (IV.15)$$

Se observa que $p_1 \in \Delta$, $p_2 \in \Delta$, por lo que, nuevamente, se tendrá una ley de control que rechaza solamente a Lf^*x_1 , y que, por un cálculo directo, está dada por las expresiones siguientes

$$u_1 = \frac{1}{D} \left\{ [H \ c11(x_4-M_4 \ x_4) - H_b \ c21 \ (M_3 \ x_3-M_2 \ x_2)] \ u'_1 \right. \\ \left. [H \ c12(x_4-M_4 \ x_4) - H_b \ c22 \ (M_3 \ x_3-M_2 \ x_2)] \ u'_2 \right\}$$

$$u_2 = \frac{1}{D} \left\{ [-H \ c11(x_3-x_4) + H_b \ c21 \ (x_1-x_2)] \ u'_1 \right. \\ \left. [-H \ c12(x_3-x_4) + H_b \ c22 \ (x_1-x_2)] \ u'_2 \right\}$$

donde

$$D = (x_4-M_4 \ x_4) (x_1-x_2) - (M_3 \ x_3-M_2 \ x_2) - (x_3-x_4) \quad (IV.16)$$

En general D es diferente de cero, por lo que el problema en estado estacionario de realización de \underline{u} no aparece (el control no "explota" en un estado estacionario).

Ahora, las expresiones para x_2 y x_4 quedaron como

$$\dot{x}_2 = c_{11} u^1 + c_{12} u^2$$

$$\dot{x}_4 = c_{21} u^1 + c_{22} u^2 + (x_3 - x_4) L_f$$

De donde es obvio que, en la salida $h_2 = x_4$ sólo se puede rechazar la perturbación w_2 ($L_f \cdot x_f$) pero no w_1 (L_f). En el caso siguiente se logra un rechazo total a ambas perturbaciones al considerar que una de ellas es medible.

Caso 3: $y = \overset{T}{(x_2 \ x_4)}$, L_f medible.

En este caso, se desea determinar si existe una matriz $\tilde{P}(x)$ tal que

$$\tilde{P}(x) = P(x) + G(x) \gamma(x) - \Delta(x)$$

de acuerdo con el teorema IV.3, donde el elemento máximo Δ está definido en (IV.15):

Bajo la consideración de que L_f es medible, la segunda columna de $\gamma(x)$ debe ser nula. Luego, las columnas de $\tilde{P}(x)$ tendrán la forma

$$\tilde{p}_1(x) = \tilde{p}_1(x) + \gamma_{11}(x) + g_1(x) + \gamma_{21}(x) + q_2(x) \quad (\text{IV.17})$$

$$\tilde{p}_2(x) = p_2(x) \quad (IV.18)$$

Para que $\tilde{p}_1(x)$ y $\tilde{p}_2(x) \in \Delta(x)$ su segunda y cuarta componentes deben ser nulas. Como $\tilde{p}_2 = p_2 \in \Delta(x)$ sólo se requiere entonces que \tilde{p}_1 tenga la forma siguiente

$$\begin{array}{|c|} \hline 0 \\ \hline \\ \hline 0 \\ \hline \\ \hline x_3 \\ \hline Ha \\ \hline \\ \hline x_3-x_4 \\ \hline Hb \\ \hline \end{array}
 + \gamma_{11}(x)
 \begin{array}{|c|} \hline 0 \\ \hline \\ \hline x_1-x_2 \\ \hline H \\ \hline \\ \hline x_2-x_3 \\ \hline Ha \\ \hline \\ \hline x_3-x_4 \\ \hline Hb \\ \hline \end{array}
 + \gamma_{21}(x)
 \begin{array}{|c|} \hline M_2 \ x_2-x_1 \\ \hline Hd \\ \hline \\ \hline M_3 \ x_3-M_2 \ x_2 \\ \hline H \\ \hline \\ \hline M_4 \ x_4-M_3 \ x_3 \\ \hline Ha \\ \hline \\ \hline x_4-m_4 \ x_4 \\ \hline Hb \\ \hline \end{array}
 =
 \begin{array}{|c|} \hline * \\ \hline \\ \hline 0 \\ \hline \\ \hline * \\ \hline \\ \hline 0 \\ \hline \end{array}$$

donde * significa cualquier cantidad diferente de cero. Esto se logra si

$$(x_1-x_2) \gamma_{11}(x) + (M_3 \ x_3-M_2 \ x_2) \gamma_{21}(x) = 0$$

$$(x^3-x^4) + \gamma_{11}(x) (x^3-x^4) + \gamma_{21}(x) (x^4-M_4 x^4) = 0$$

Así que

$$\gamma_{11}(x) = (M_3 x^3 - M_2 x^2) (x^3-x^4) / D$$

$$\gamma_{21}(x) = (x^1-x^2) (x^3-x^4) / D$$

con D dada por la ecuación (IV.16).

El control correspondiente ahora está dado por la ecuación (IV.10) y

$$\begin{aligned} u_1(x) = & \frac{1}{D} \{ [H c_{11} (x^4-M_4 x^4) - H_b c_{21} (M_3 x^3-M_2 x^2)] u'_1 \\ & + [H c_{12} (x^4-M_4 x^4) - H_b c_{22} (M_3 x^3-M_2 x^2)] u'_2 \\ & + [(M_3 x^3-M_2 x^2) (x^3-x^4)] w_1 \} \end{aligned} \quad (IV.19)$$

$$\begin{aligned} u_2(x) = & \frac{1}{D} \{ [-H c_{11} (x^3-x^4) + H_b c_{21} (x^1-x^2)] u'_1 \\ & + [-H c_{12} (x^3-x^4) + H_b c_{22} (x^1-x^2)] u'_2 \\ & - [(x^1-x^2) (x^3-x^4)] w_1 \} \end{aligned} \quad (IV.20)$$

y sustituyendo estas expresiones en (IV.12) se tiene que

$$\dot{x}_2 = c_{11} u'1 + c_{12} u'2$$

$$\dot{x}_4 = c_{21} u'1 + c_{22} u'2$$

De donde se observa que las perturbaciones w_1 y w_2 son rechazadas totalmente en el vector de salidas y .

La ley de control dada las ecuaciones (IV.19), (IV.20) y (IV.16) fué probada en simulación (dentro de un SCD, corriendo en tiempo real) con el modelo no lineal simple dado por (IV.12). La solución del modelo se obtuvo utilizando un algoritmo de integración de Runge-Kutta de cuarto orden.

Puesto que se pueden presentar cambios de referencia en el esquema de control se incluyó una acción proporcional e integral para generar $u'1$ y $u'2$. Las constantes de proporcionalidad y de integración son K_i y T_i , con $i=1, 2$, respectivamente (véase la figura IV.3).

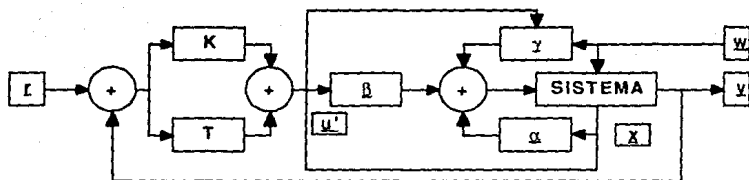


Figura IV.3 Esquema de control correspondiente a la ley de control dada por (IV.19, 20 y 16).

u' se genera entonces como

$$u' = \begin{bmatrix} u' 1 \\ u' 2 \end{bmatrix} = \begin{bmatrix} K1 (x2r-x2) + T1 \int_0^t (x2r-x2)dt \\ K2 (x4r-x4) + T2 \int_0^t (x4r-x4)dt \end{bmatrix}$$

siendo $r = (x2r \ x4r)^T$ un vector de referencias.

Los términos integradores en la ecuación anterior fueron aproximados en simulación como las siguientes sumatorias dadas por

$$H \sum_{k=1}^N (x_{2r} - x_2)_k$$

$$H \sum_{k=1}^N (x_{4r} - x_4)_k$$

con H el periodo de Integración, N el número de muestras totales y k el instante de muestreo.

Los parámetros del MNLS de la columna fueron inicialmente fijados como se muestra en la tabla IV.1, mientras que los valores iniciales de las concentraciones y volatilidades relativas correspondientes son los de la tabla IV.2. En la tabla IV.3 se incluyen los valores para las constantes de proporcionalidad, integración y valores de la matriz de control para los experimentos que a continuación se describen, mientras que en la tabla IV.4 se muestran el número de muestras para cada experimento, los cambios (en %) en las referencias y perturbaciones, y los valores de la muestra en que estos ocurren.

Tabla IV.1.	Valores de los parámetros del MNLS de la Columna de Destilación	
n	Número de elementos de la columna	4
Hd	Cantidad de líquido acumulado en el condensador	66.67 mol
H	Cantidad de líquido en el plato	80.71.mol
Ha	Cantidad de líquido acumulado en el elemento aglomerado	62.79 mol
Hb	Cantidad de líquido acumulado en el calderín	1101 mol

Tabla IV.2.	Valores Iniciales de la concentración y volatilidades relativas del MNLS de la Columna de Destilación	
x1	Concentración líquida en el condensador (fracción mol)	0.92144525
x2	Concentración líquida en el primer plato (fracción mol)	0.80225630
x3	Concentración líquida en el elemento aglomerado (fracción mol)	0.39638239
x4	Concentración líquida en el calderín (fracción mol)	0.19320077
α_2	Volatilidad relativa en el primer plato	2.8913
α_3	Volatilidad relativa en el elemento aglomerado	10.886
α_4	Volatilidad relativa en el calderín	5.5829

Tabla IV.3.	Valores de las constantes de proporcionalidad, tiempos de integración y valores de la matriz de control de la figura IV.3.			
Experimento				
	1	2	3	4
Figura	IV.4	IV.5	IV.6	IV.7
K1, K2	0.005	0.005	0.005	0.005
T1, T2	0.00001	0.0001	0.00001	0.0001
c11, c22	1	1	1	1
c12, c21	0	0	0	0

Tabla IV.4	Número de muestras. Cambios (en %) en las referencias y perturbaciones. Valor de la muestra en la que se presentan los cambios			
Experimento				
	1	2	3	4
Figura	IV.4	IV.5	IV.6	IV.7
No. puntos	300	300	300	300
% var. x2r	5	5	5	5
% var. x4r	5	5	5	5
% en Lf	10	10	10	10
% en xf	10	10	10	10
Cambio en ref.	50	50	100	100
Cambio en per.	150	150	100	100

En la figura IV.4 se muestra la evolución en el tiempo de L , Y , L_f , x_f y u . Primero se mantuvo el proceso en un estado estacionario con L , L_f y x_f en los valores.

$$\underline{I} = \begin{bmatrix} x_{2r} \\ x_{4r} \end{bmatrix} = \begin{bmatrix} 0.8022 \\ 0.1932 \end{bmatrix}, \quad \begin{bmatrix} L_f = 1.815 \text{ mol/seg}, \\ x_f = 0.5, (L_f \cdot x_f = 0.975), \end{bmatrix}$$

durante un período de 980 seg (49 muestras), iniciando en $t = 0$ seg (llegando hasta 980 seg) y partiendo de los valores iniciales dados en las tablas IV.1 y IV.2. Después, se realizó un cambio de referencia en el vector \underline{I} a partir de $t = 1000$ seg (50 muestras). El vector \underline{I} cambió en un + 5 % de su valor nominal.

$$\underline{I} = \begin{bmatrix} x_{2r} \\ x_{4r} \end{bmatrix} = \begin{bmatrix} 0.8423 \\ 0.2029 \end{bmatrix},$$

Finalmente, a partir de $t = 3000$ seg se hicieron cambios en las perturbaciones L_f y x_f tipo escalón (ver figura IV.4), del + 10 %. Estos cambios fueron

$$L_f = 1.9965, \quad x_f = 0.55, \quad (L_f \cdot x_f) = 0.99825$$

En la tabla IV.4 (columna 1) se muestra en forma condensada lo anterior. Y en la tabla IV.3 (columna 1) se muestran los valores que tomaron las constantes de proporcionalidad, integración y la matriz de control.

En el experimento número dos se hizo un cambio en los valores de las constantes de integración, para observar cómo

se afectaba la dinámica de las salidas del proceso. En las tablas IV.3 y IV.4 (columna 2, se resume el experimento).

En la figura IV.5 se muestran los resultados correspondientes.

Los siguientes dos experimentos consistieron en efectuar cambios (al mismo tiempo) tanto en las referencias, como en las perturbaciones (ver tablas IV.3 y IV.4, columnas 3 y 4 respectivamente).

En las figuras IV.6 y IV.7 se muestran los resultados correspondientes.

De las figuras IV.4, IV.5, IV.6 y IV.7 puede observarse que:

(i) El esquema de control no lineal realizado permite cambios de consigna e introducción de perturbaciones relativamente grandes con error despreciable entre \underline{r} y \underline{y} aunque los cambios en la señal de control \underline{u} son bruscos y grandes.

(ii) El efecto de las perturbaciones L_f y x_f es totalmente nulo sobre el vector de salida \underline{y} , siendo los cambios en el vector \underline{u} suaves y relativamente pequeños.

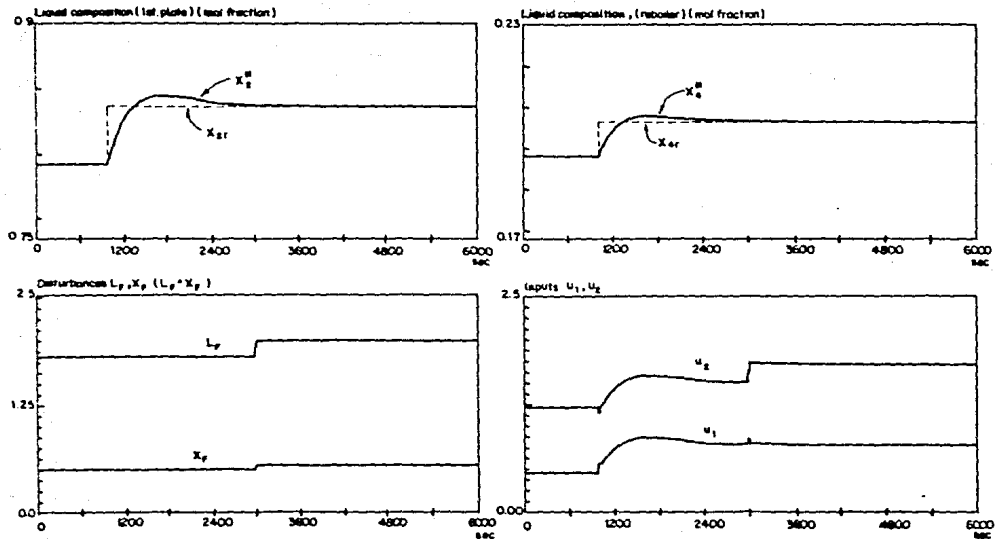


Figura IV.4 Evolución en el tiempo de \underline{r} , \underline{x} , L_f , x_f y \underline{u} , al efectuar primero un cambio en \underline{r} del 5% y después un cambio en L_f y x_f del 10%, con $T1=T2=0.00001$.

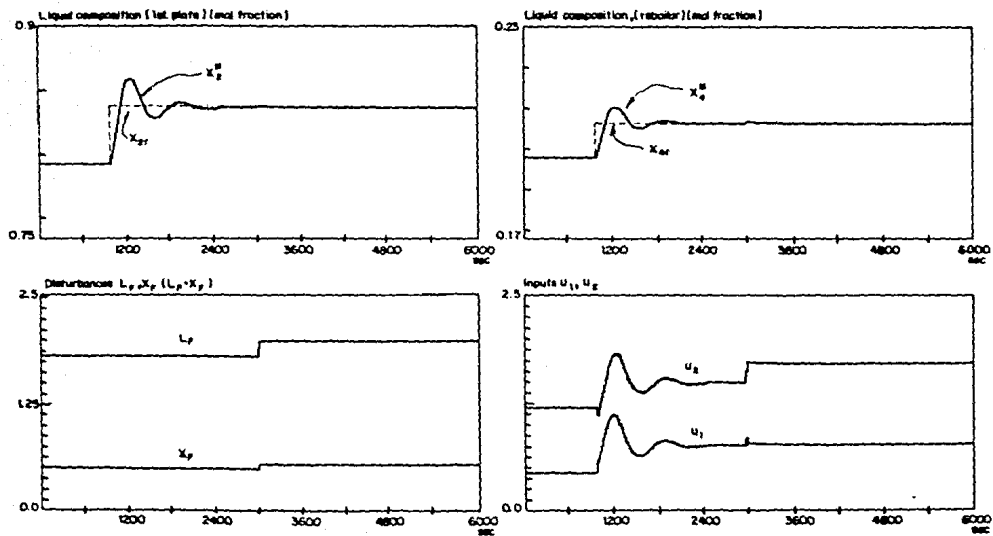


Figura IV.5 Evolución en el tiempo de \underline{z} , \underline{y} , L_f , x_f y \underline{u} , al efectuar primero un cambio en r del 5% y después un cambio en L_f y x_f del 10%, con $T_1=T_2=0.0001$.

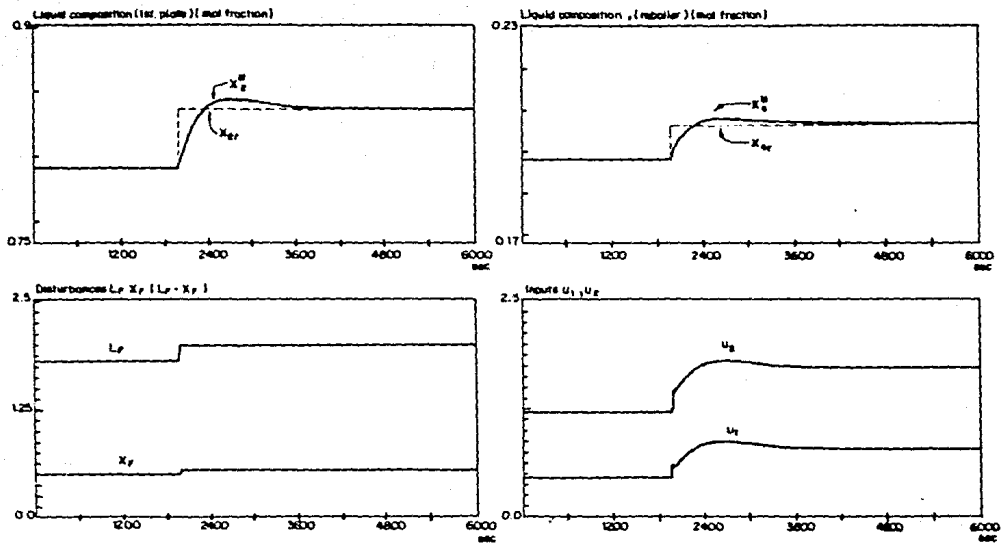


Figura IV.6 Evolución en el tiempo de \underline{x} , \underline{y} , \underline{L}_p , \underline{x}_p y \underline{u} , al efectuar al mismo tiempo un cambio en \underline{r} del 5% y del 10% en \underline{L}_p y \underline{x}_p , con $T_1=T_2=0,00001$.

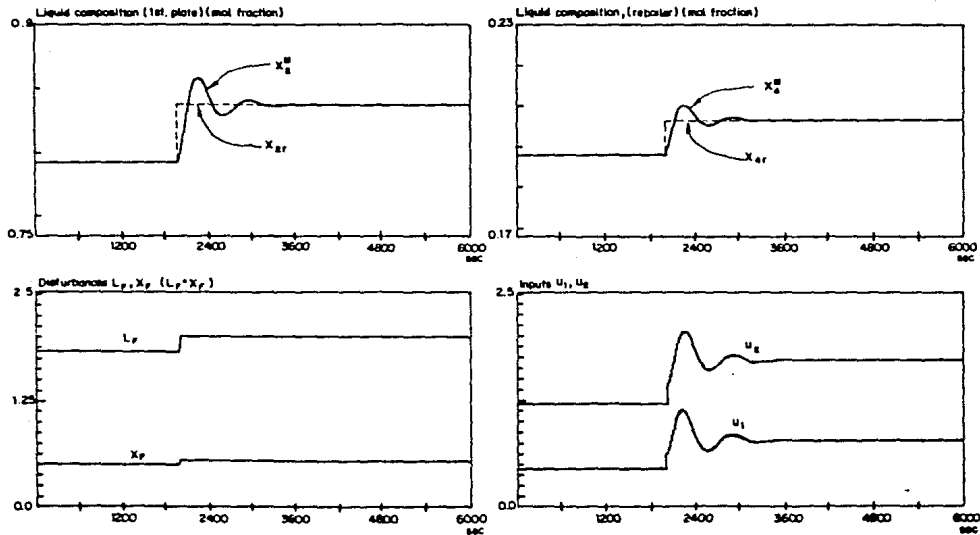


Figura IV.7 Evolución en el tiempo de r , y , L_f , x_f y \underline{u} , al efectuar al mismo tiempo un cambio en \underline{r} del 5% y del 10% en L_f y x_f , con $T_1=T_2=0.0001$.

IV.3 Introducción del Observador Asintótico en el Esquema de Control Realimentado.

Al realizar las simulaciones descritas en la parte final de la sección anterior se tomó como valor para el estado x_3 el obtenido directamente del MNLS. Sin embargo, en la práctica, este estado no tiene ningún significado físico ya que corresponde a un elemento "aglomerado" de un modelo de la columna. Es necesario estimarlo. Se introdujo así el observador asintótico diseñado en el capítulo III dentro del esquema de control por realimentación del estado obtenido

arriba. Se utiliza, por lo tanto, el valor estimado de x_3 (\hat{x}_3) en las ecuaciones (IV.19 y IV.20) para el cálculo de \underline{u} teniendo finalmente el esquema mostrado en la figura IV.8.

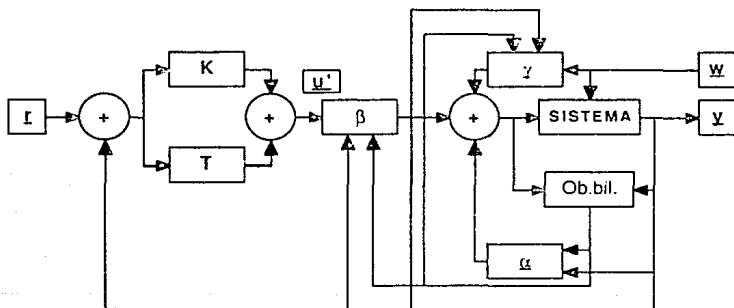


Figura IV.8 Esquema de control con Observador incluido.

Resultados y comentarios.

Se obtuvieron varios resultados en simulación al utilizar el esquema de control con observador asintótico de la figura IV.8 y utilizando el MNLS de la columna como proceso.

Para fines de comparación se realizaron los mismos experimentos, pero con observador incluido, obteniéndose los resultados que se muestran en las figuras IV.9, IV.10, IV.11 y IV.12.

Al comparar las figuras IV.9-12 con las IV.4-7, respectivamente, se observa que:

(i) De las figuras IV.4 y IV.9 el esquema de control realimentado con observador asintótico permite cambios de consigna con un error del 9 % entre \underline{r} y \underline{y} . El valor del error en este caso es grande debido a que el valor en las constantes de integración es muy pequeño (se reduce bastante el efecto integrador), y el efecto de tomar un valor estimado de x_3 para la ley de control es grande. Algo equivalente sucede al comparar las figuras IV.6 y IV.11.

(ii) De las figuras IV.5 y IV.10 se ve que el efecto de las variables de perturbación L_f y x_f es nulo (en los dos casos) sobre el vector de salida \underline{y} , siendo los cambios en el vector \underline{u} más pequeños y suaves debido principalmente a que la ^A convergencia de x_3 hacia x_3 es asintótica. Algo similar se puede decir de las figuras IV.7 y IV.12.

Como experimento final se realizaron varios cambios en las perturbaciones, como se muestra en la figura IV.13. Estos cambios se efectuaron cada 100 muestras con las variaciones siguientes en los valores de las perturbaciones:

Lf :	1.9965	1.6335	1.90575
xf :	0.55	0.525	0.45

con $k_1 = k_2 = 0.005$ y $T_1 = T_2 = 0.0001$.

Los resultados en simulación muestran que las perturbaciones son rechazadas relativamente pronto presentándose cambios en los controles pequeños, a pesar de los cambios bruscos en los valores de Lf y xf.

Como comentarios finales a los resultados obtenidos se puede mencionar entre otras cosas lo siguiente:

(i) La inclusión del observador en el esquema de control presenta resultados adecuados siempre y cuando el efecto integrativo reduzca el error ($\underline{x} - \underline{y}$) al mínimo.

(ii) Finalmente, el control \underline{u} puede ser mejorado para cambios de consigna. Algunas de estas mejoras podrían ser:

(a) Acoplar la dinámica del sistema a un sistema lineal. Esto es, encontrar una retroalimentación del estado estático de la forma

$$u = \alpha(x) + \sum_{j=1}^m \beta_j(x) v_j$$

bajo la cual el comportamiento entrada-salida del sistema no lineal dado por (IV.1a y IV.1b) sea igual a la de un sistema lineal [37].

(b) Utilizar un esquema de control adaptable con modelo de referencia [38], ya que el mecanismo de adaptación compensa variaciones en los parámetros de la planta, y sobre todo porque este esquema es una manera eficiente de especificar los objetivos de diseño, especialmente en el caso no lineal.

(c) Puesto que para calcular la ley de control por retroalimentación propuesta sólo se utiliza las ecuaciones y estados de los elementos 1, 2 y 4, y puesto que el tiempo de residencia es aproximadamente proporcional a la cantidad de líquido acumulada y la dinámica de un elemento es mucho más rápida que la de un conjunto de ellos, entonces la ley de control está formada sólo por la componente más rápida del sistema; esto generalmente implica una robustes pobre del esquema de control [39].

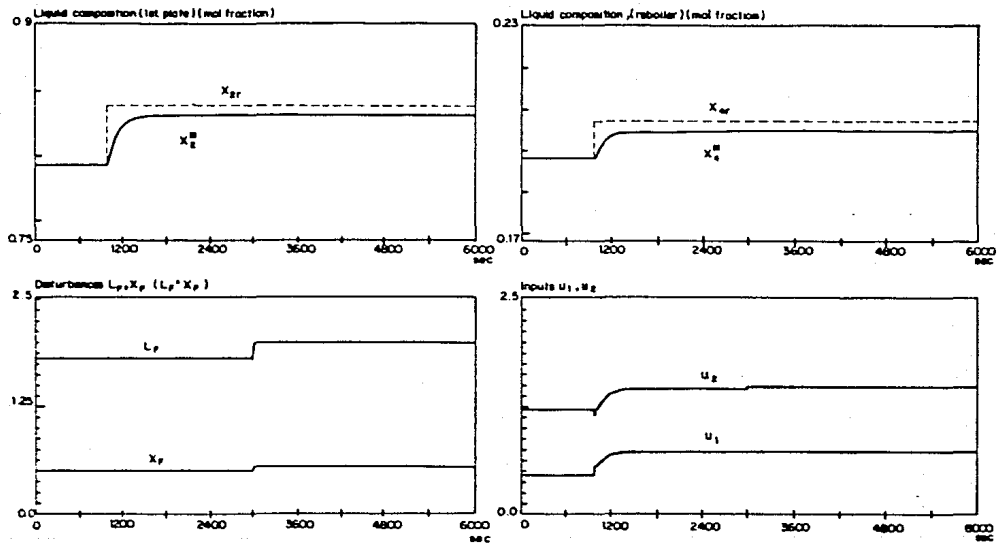


Figura IV.9 Evolución en el tiempo de \underline{x} , \underline{y} , L_f , x_f y \underline{u} , al efectuar primero un cambio en \underline{x} del 5% y después un cambio en L_f y x_f del 10%, con $T_1=T_2=0.00001$ (observador bilineal incluido).

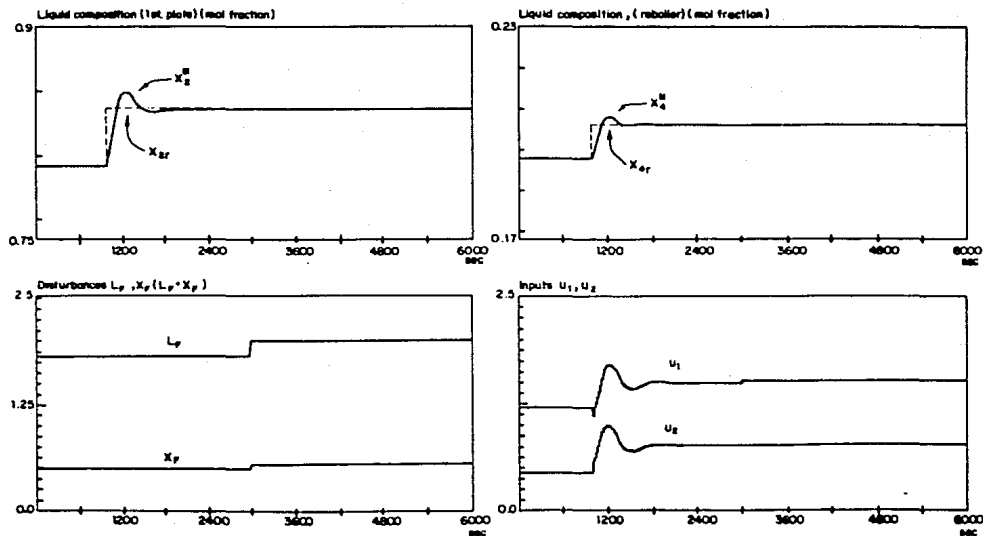


Figura IV.10 Evolución en el tiempo de \bar{x} , \bar{y} , L_f , x_f y \underline{u} , al efectuar primero un cambio en \bar{r} del 5% y después un cambio en L_f y x_f del 10%, con $T_1=T_2=0.0001$ (observador bilineal incluido).

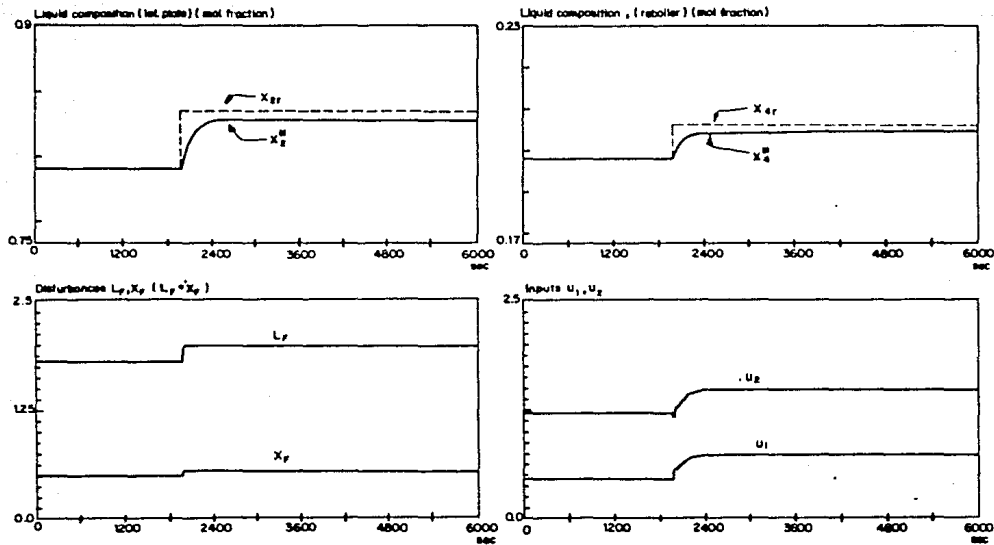


Figura IV.11 Evolución en el tiempo x , y , L_f , x_f y u , al efectuar al mismo tiempo un cambio en r del 5% y del 10% en L_f y x_f , con $T_1=T_2=0.00001$ (observador bilineal incluido).

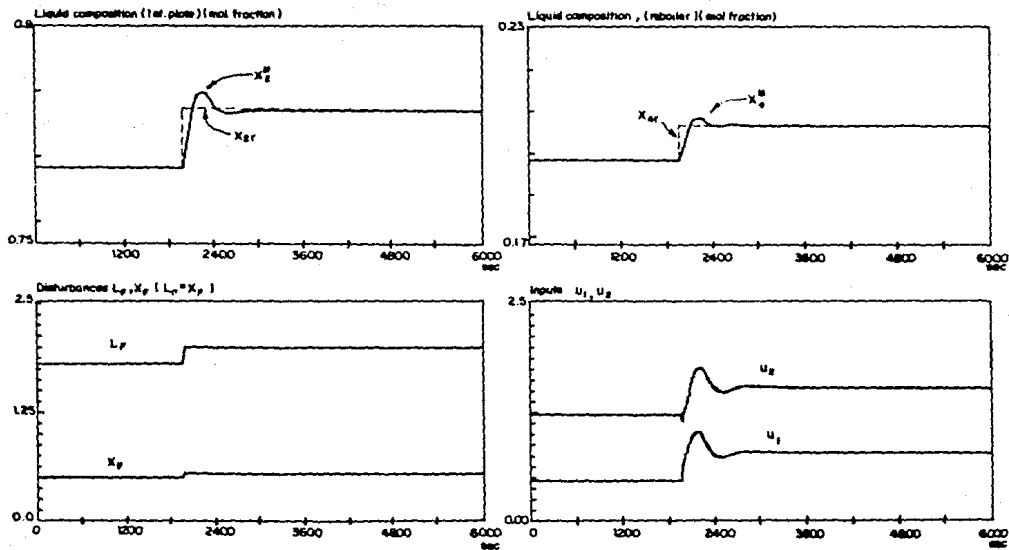


Figura IV.12 Evolución en el tiempo de \bar{r} , \bar{y} , L_f , x_f y u , al efectuarse al mismo tiempo un cambio en \bar{r} del 5% y del 10% en L_f y x_f , con $T_1=T_2=0.0001$ (observador bilineal incluido).

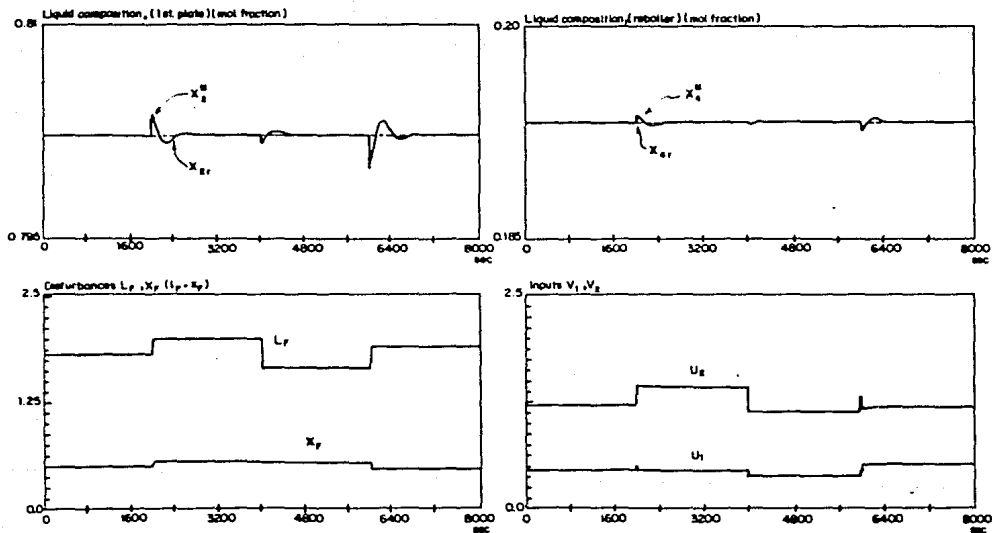
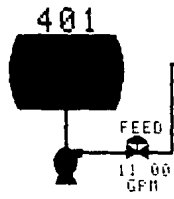


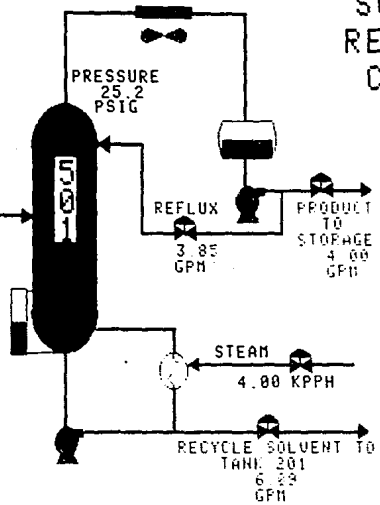
Figura IV.13 Evolución en el tiempo de x , y , L_f , x_f y u , al efectuar sólo cambios en las perturbaciones cada 100 muestras con un total de 400 muestras de 20 segundos cada una (observador bilineal incluido).

SOLVENT RECOVERY AREA-GRAPHIC		SOLVENT RECOVERY AREA-STATUS											
SOLVENT RECOVERY AREA-TREND		SOLVENT RECOVERY AREA-ALARM											
RECOVERY TOP GRAPHIC		RECOVERY BOTTOM GRAPHIC											
RECOVERY TOP STATUS		RECOVERY BOTTOM STATUS											
RECOVERY TOP TRENDS		RECOVERY BOTTOM TRENDS											
RECOVERY TOP ALARMS		RECOVERY BOTTOM ALARMS								GROUP TEST DISPLAY			
TCL-UNITS OVERVIEW													LOGGERCTRL
		LIBRARY DISPLAY		TEST-REPORT EXECUTE									ENVIRLOGON
UNIT OVER	OVER VIEW	AREA	GROUP	ALARM	TREND	STATUS	GRAPH	DETAIL		LAST PAGE	MSG	FETCH ALARM	
													16:29:08
										OVERVIEW PLANT			

COMPOSITION
SUMMARY
PRODUCT 98.4%
RECYCLE 22.26%



TEMPERATURES
DEG F
TOP 118.0
BOTTOM 344.5



SOLVENT RECOVERY COLUMN

FLWS

		PRODUCT
		RECYCLE
		FEED



UNIT OVER	OVER VIEW	AREA	GROUP	ALARM	TREND	STATUS	GRAPH	DETAIL	➔	LAST PAGE	MSG	FETCH ALARM
											16:26:01	
											RECURY-AREA	500-AREA

RECURY-TOP											
P	0821	OURHD PRESS	LOC	25.000	24.998	PSIG				A	24.0
A	0810	OVERHD COMP	LOC	95.000	98.744	%				T	20.0
T	0812	116.73 DEG F									
F	0820	ACCUMULATOR	LOC	50.000	49.989	%					
F	0817	OVERHD PROD	LOC	4.0000	4.0000	GPM				A	20.0
F	0816	REFLUX FLOW	REN	4.0032	4.0000	GPM				A	20.0
F	0814	FEED FLOW	LOC	11.000	11.000	GPM				A	55.0
F	0815	STEAM FLOW	TRA	4.0000	4.0000	KPPH				A	40.0
L	4011	40.863 PERCNT	FQ-5014		140.89	GALS					
H	5030	OVERHD FANS	AUT	START	START						
H	5000	FEED PUMP	AUT	START	START						
H	5050	OVERHD PUMP	AUT	START	START						

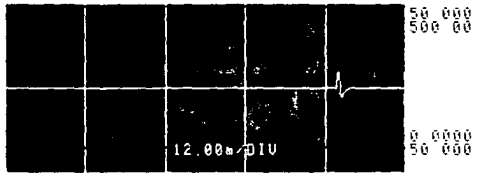
RECURY-BTH											
A	0823	BOTTOM COMP	LOC	5.0000	22.185	%				T	10.0
A	0840	STEAM/FEED	TRA	8.3636	8.3636	GPM				T	40.0
F	0814	FEED FLOW	LOC	11.000	11.000	GPM				M	55.0
F	0815	STEAM FLOW	TRA	4.0000	4.0000	KPPH				M	40.0
F	0811	34.76 DEG F									
L	5019	BASE LEVEL	LOC	50.000	50.508	%				H	36.0
F	0814	140.89 GALS	FQ-5015		140.89	GALS				H	36.0
F	5018	RECYCLE FLOW	REN	7.3828	7.3853	GPM				H	36.0
H	5000	FEED PUMP	AUT	START	START						
H	5060	BOTTOM PUMP	AUT	START	START						

UNIT OVER	OVER VIEW	AREA	GROUP	ALARM	TREND	STATUS	GRAPH	DETAIL	➔	LAST PAGE	MSG	FETCH ALARM
										16:32:18		
										AREASTATUS		
										580-AREA		

<p>PC-5021 OVERHD PRESS</p> <p>50 000 SP 25 000 LOC 35 001 PSIG OP 24 0 AUT 12 00m</p>	<p>AC-5010 OVERHD COMP</p> <p>100 00 SP 95 000 LOC 9 727 OP 20 0 TRA 12 00m</p>	<p>TC-5012 TRAY 9 TEMP</p> <p>116 50 DEG F</p> <hr/> <p>FO-5017 OVERHD FROD</p> <p>22 485 GAL</p>	<p>LC-5020 ACCUMULATOR</p> <p>100 00 SP 50 000 LOC 50 000 OP 20 0 AUT 12 00m</p>
<p>FC-5017 OVERHD PROD</p> <p>4 000 SP 4 0000 LOC 4 0000 GPM OP 20 0 AUT 12 00m</p>	<p>FC-5016 REFLUX FLOW</p> <p>4 000 SP 4 0013 PEN 4 0009 GPM OP 20 0 AUT 12 00m</p>	<p>FC-5014 FEED FLOW</p> <p>20 000 SP 11 000 LOC 11 000 GPM OP 55 0 AUT 12 00m</p>	<p>FC-5015 STEAM FLOW</p> <p>10 000 SP 4 0000 TFH 4 0000 YPPH OP 40 0 HAR 12 00m</p>
<p>LI-4011 HOLD TANK LV</p> <p>37 398 PERCENT</p> <hr/> <p>FO-5014 FEED TOTAL</p> <p>184 80 GALS</p> <hr/> <p>FO-5015 STEAM TOTAL</p> <p>1122 8 LBS</p>	<p>HS-5030 OVERHD FANS</p> <hr/> <p>COMMAND STAFT MODE AUTO STATE STAFT</p>	<p>HS-5000 FEED PUMP</p> <hr/> <p>COMMAND STAFT MODE AUTO STATE STAFT</p>	<p>HS-5050 OVERHD PUMP</p> <hr/> <p>COMMAND STAFT MODE AUTO STATE STAFT</p>

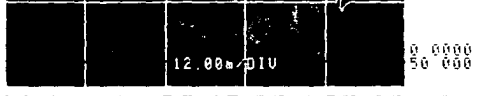
UNIT OVER	OVER VIEW	AREA	GROUP	ALARM	TREND	STATUS	GRAPH	DETAIL	➔	LAST PAGE	MSG	FETCH ALARM
												16:36:20
GROUPSTATUS RECURY-TOP												

100 00



PC-5021	AC-5010
OVERHD PRESS	OVERHD COMP
PSIG	%
SP 25.000 L	SP 95.000 L
MU 25.000	MU 98.738
OP 24.0 H	OP 20.0 T

0 0000



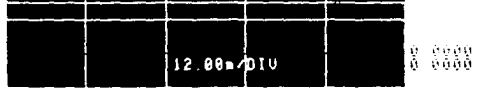
TC-5012	LC-5020
115.72 DEG F	ACCUMULATOR
	%
	SP 50.000 L
	MU 50.000
	OP 20.0 H
FO-5017	
383 BBGAL	

20 000



FC-5017	FC-5016
OVERHD PROD	REFLUX FLOW
GPM	GPM
SP 4.0000 L	SP 4.0000 P
MU 4.0000	MU 4.0000
OP 20.0 H	OP 20.0 H

+



FC-5014	FC-5015
FEED FLOW	STEAM FLOW
GPM	LPPH
SP 11.000 L	SP 4.0000 T
MU 11.000	MU 4.0000
OP 55.0 H	OP 40.0 H

100 00



LI-4011	HS-5030
100.00 FEED	OVERHD FANS
FO-5014	COM START
105.0 GCHL	MODE AUTO
FO-5015	STATE START
240.0 LBS	



HS-5000	HS-5050
FEED PUMP	OVERHD PUMP
COM START	COM START
MODE AUTO	MODE AUTO
STATE START	STATE START

UNIT OVER	OVER VIEW	AREA	GROUP	ALARM	TREND	STATUS	GRAPH	DETAIL	LAST PAGE	MSG	FETCH ALARM
										16:02:30	
GROUP TREND											
RECURY-TOP											

CONCLUSIONES Y PERSPECTIVAS

Los objetivos principales de este trabajo fueron mostrar que:

a) Con un modelo no lineal de orden reducido de una Columna de Destilación binaria se puede describir de manera satisfactoria el comportamiento del proceso de destilación en una zona amplia alrededor de un punto de operación dado.

b) Para el modelo reducido se puede construir un observador bilineal asintótico, estable que permite estimar un estado necesario para la aplicación de un esquema de control.

c) El observador obtenido se puede introducir en esquemas de control no lineales por retroalimentación del estado para rechazo a perturbaciones.

En particular, en este trabajo se obtuvieron los siguientes resultados:

i) Un modelo no lineal simple (M-NLS) fué identificado y validado para un conjunto de entradas dado. Los resultados de identificación y validación mostraron que el modelo propuesto aproxima de una manera precisa al proceso de destilación en una amplia zona de validez.

El modelo propuesto consiste de cuatro elementos (condensador, primer plato, elemento aglomerado y calderín). Fué necesario contar con un estado que representa el valor de la concentración en el primer plato, ya que el esquema de control presentado más tarde requiere de esa variable. Los demás platos de la columna fueron agrupados en un elemento "aglomerado" que no tiene ningún sentido físico y cuya composición líquida tuvo que ser estimada utilizando un observador asintótico.

El MNLS fué sometido a una análisis de controlabilidad y observabilidad local, que permite la realización de esquemas de observación y control basados en ese modelo.

ii) Puesto que, para fines de control por retroalimentación es necesario estimar el valor de la concentración del elemento aglomerado (que por otro lado no se puede obtener directamente del vector de salida), se diseñó un observador asintótico, estable, bilineal de esa concentración. El diseño está basado en extensiones de los resultados presentados inicialmente en [12, 9].

Para la obtención del observador se hizo necesario obtener un modelo bilineal a partir del MNLS introduciendo ciertas hipótesis adicionales. El modelo bilineal obtenido fué sometido también a un análisis de observabilidad para verificar que un observador asintótico puede ser construido.

El observador asintótico de la concentración en el plato aglomerado fué comparado con el valor correspondiente en el MNLS, observándose que era una buena aproximación de esa variable en una zona de validez amplia.

Con fines de comparación, se obtuvo un observador lineal de Luenberger para el MNLS. Este observador fué diseñado a partir de una linealización del MNLS alrededor del mismo punto de operación para el que fué identificado ese modelo que es también el mismo punto para el cual fué construido el observador asintótico.

De las gráficas obtenidas en simulación para el observador asintótico y para el observador lineal, y al compararlas con el MNLS, se concluye que el observador asintótico resulta ser una mejor aproximación (como se esperaba) que el correspondiente lineal.

iii) Aunque, el objetivo inicial de esta tesis no contemplaba el control de la columna de destilación, para comprobar el funcionamiento y eficiencia del observador asintótico diseñado éste fué introducido en un esquema de control por retroalimentación como se muestra en los resultados respectivos.

En resumen, se puede concluir, que el proceso de destilación binario puede ser modelado adecuadamente con un modelo no lineal siempre de orden mínimo (4 estados). Que el estado "aglomerado" puede ser estimado de manera satisfactoria por medio de un observador bilineal asintótico, estable. Además, este observador es una mejor aproximación que el correspondiente lineal en la zona de operación correspondiente. Finalmente, el observador asintótico diseñado presenta un comportamiento aceptable en un esquema de control no lineal por retroalimentación del estado para rechazo a perturbaciones.

Entre las perspectivas de interés para el trabajo realizado se pueden mencionar las siguientes:

- Aplicar un esquema de control con el observador asintótico propuesto a un modelo no lineal no simple de n elementos.
- Aplicar un esquema de control con el observador asintótico propuesto al MNL obtenido en [20].
- Verificar la robustez del esquema control - observador propuesto aquí con cambios en los parámetros [39].
- Investigar otros esquemas de control, por ejemplo, acoplado la dinámica del sistema a uno lineal o utilizando un esquema de control adaptable [37].
- Usar otro tipo de sistema de observación, como podría ser un observador no lineal [40].
- Finalmente, aplicar la estructura de control - observación propuesta en el trabajo de tesis y las sugeridas en estas perspectivas a un proceso de destilación real.

APENDICE 1

En este apéndice se incluye la nomenclatura adoptada en el capítulo I (tabla 1.1). De igual manera, se incluye el diagrama esquemático de la columna de destilación binaria (figura 1.1).

Tabla 1.1	Nomenclatura de referencia para la columna de destilación binaria (véase también la figura (1.1))
C _j :	Capacidad molar en el plato j
CB :	Capacidad molar del calentador
LD :	Gasto de salida de la cabeza de la columna (mol/seg)
hf :	Entalpia molar de la mezcla de alimentación (cal/mol)
H _j :	Entalpia vapor molar en el plato j (cal/mol)
j :	Índice del elemento j = 0, 1, . . . , np, B
jf :	Índice del plato de alimentación
np :	Número de platos
L _f :	Gasto de la mezcla de alimentación (mol/seg)
L _j :	Gasto líquido saliente del plato j (mol/seg)
LB :	Gasto líquido en el calderín (mol/seg)
Lo :	Gasto líquido del reflujo (mol/seg)
P _j :	Pérdida calorífica asociada al plato j (cal/seg)
P _b :	Pérdida calorífica asociada al calderín (cal/seg)
QB :	Potencia de calentamiento (cal/seg)
QC :	Potencia de enfriamiento (cal/seg)
T _f :	Temperatura de la mezcla de alimentación (C)
X _f :	Concentración del componente más volátil en la mezcla de alimentación

V_j :	Gasto vapor saliente del plato j (mol/seg)
\underline{x} :	Vector de concentraciones molares líquidas para el caso binario
x_j :	Concentración molar líquida en el plato j
\underline{v} :	Vector de concentraciones molares de vapor
y_j :	Concentración molar de vapor en el plato j

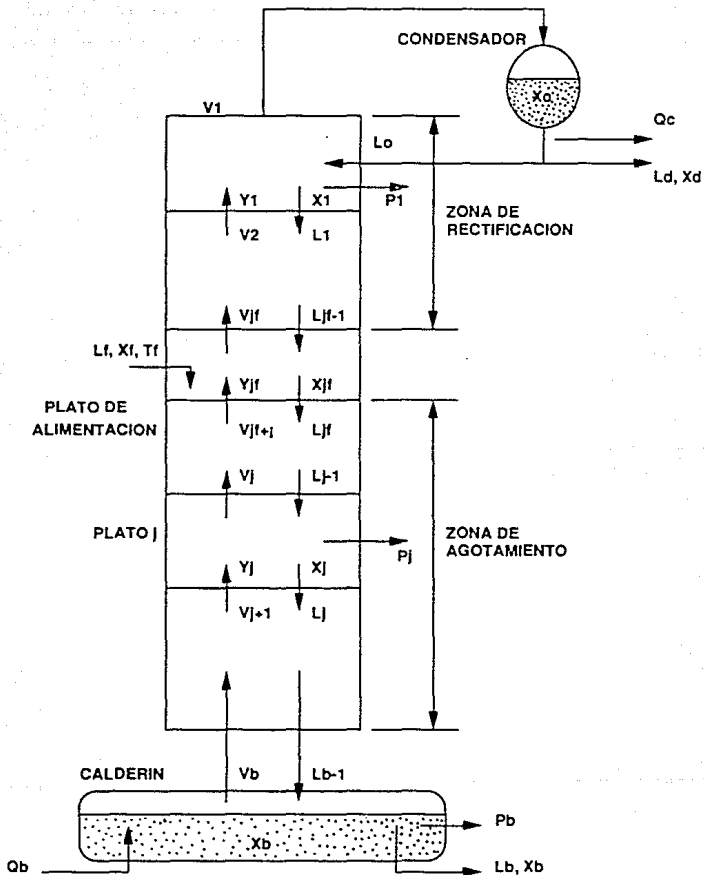


Figura1. Representación esquemática de la Columna de Destilación.

APENDICE 2

En este apéndice, se presentan las demostraciones de las extensiones a los teoremas dados en [9]. Las siguientes suposiciones y notación son necesarios para el contenido de este apéndice.

Para el sistema bilineal presentado en el capítulo III y dado por

$$\begin{aligned} \dot{x} &= A_0 x + \sum_{i=1}^m u_i A_i x + B u \\ y &= C x \end{aligned} \tag{2.1}$$

se tiene que el correspondiente sistema dinámico observador es

$$\begin{aligned} \dot{z} &= \left\{ A_0 + \sum_{i=1}^m u_i A_i \right\} z + \left\{ B_0 + \sum_{i=1}^m u_i B_i \right\} y + J x \\ \underline{w} &= C z + D y \end{aligned} \tag{2.2}$$

Si se asume que existe una matriz U tal que

$$\hat{C}U + \hat{D}C = K \quad (2.3)$$

Y, si se define el error como

$$\underline{e} = \underline{z} - U\underline{x} \quad (2.4)$$

Entonces, \underline{e} estará gobernado por la siguiente ecuación

$$\begin{aligned} \dot{\underline{e}} = & \left\{ \hat{A} + \sum_{i=1}^m u_i \hat{A}_i \right\} \underline{e} + \left\{ \hat{J} - UB \right\} u + \left\{ \hat{A}U + \hat{B}C - UA \right\} \underline{x} \\ & + \sum_{i=1}^m \left\{ \hat{A}_i U + \hat{B}_i C - U \hat{A}_i \right\} \underline{x} \end{aligned} \quad (2.5)$$

Sea P una matriz simétrica definida positiva de dimensión $s \times s$, y tómesese la derivada en el tiempo de $\underline{e}^T P \underline{e}$:

$$\frac{d}{dt} (\underline{e}^T P \underline{e}) = \underline{e}^T \left\{ P \left(\hat{A} + \sum_{i=1}^m u_i \hat{A}_i \right) + \left(\hat{A} + \sum_{i=1}^m u_i \hat{A}_i \right)^T P \right\} \underline{e} +$$

$$\begin{aligned}
& + 2 \underline{e}^T P \{ J - U B \} u + 2 \underline{e}^T P \{ A U + B C - U A \} x \\
& + 2 \sum_{i=1}^m u_i \underline{e}^T P \{ A U + B C - U A \} x \quad (2.6)
\end{aligned}$$

Enseguida, se procede a la prueba de los teoremas III.1, 2 y 3.

Prueba del Teorema III.1 (capítulo III)

Si (i), (ii), (iii), (iv) y (vi) se satisfacen, entonces (2.6) se convierten en

$$\frac{d}{dt} (\underline{e}^T P \underline{e}) = \underline{e}^T (-Q) \underline{e} = -\underline{e}^T Q \underline{e} \quad (2.7)$$

El error es independiente del término $U B$ y como P y Q se supone definidas positivas,

$$\lim_{t \rightarrow \infty} \underline{e}(t) = 0 \quad (2.8)$$

por el teorema de Liapunov sobre estabilidad. De (2.2) y (2.4)

$$\begin{aligned}
 w &= \hat{C}z + \hat{D}y = \hat{C}(\underline{e} + Ux) + \hat{D}Cx \\
 &= \hat{C}\underline{e} + \hat{C}Ux + \hat{D}Cx
 \end{aligned}$$

y de (2.3)

$$w = Kx + \hat{C}\underline{e}$$

Luego por (2.8)

$$\lim_{t \rightarrow \infty} | \underline{w}(t) - Kx(t) | = 0$$

Prueba del teorema III.2 (capítulo III)

Puesto que $C = [Ip \ 0]$ y $U = \begin{bmatrix} S \\ I \\ n-p \end{bmatrix}$, la elección

$$\hat{A}_o = S \bar{A}_{o12} + \bar{A}_{o22}$$

$$\hat{B}_o = S \bar{A}_{o11} + \bar{A}_{o21} - (S \bar{A}_{o12} + \bar{A}_{o22}) S$$

$$\begin{aligned}
 \hat{A} &= S \bar{A}_{112} + \bar{A}_{122} \\
 \hat{B} &= S \bar{A}_{111} + \bar{A}_{121} - (S \bar{A}_{112} + \bar{A}_{122}) S \\
 \hat{J} &= S \bar{B}_1 + \bar{B}_2
 \end{aligned} \tag{2.9}$$

satisface todas las condiciones del teorema 1.

Prueba del teorema III.3 (capítulo III).

Se diseña un \sum_o como

$$\sum_o : \begin{cases} \dot{z} = (A_{o22} + \sum_l u_l A_{l22}) z + (A_{o21} + \sum_l u_l A_{l21}) y + B_{o2} u \\ w = \begin{array}{c} -1 \\ T \\ p \end{array} \left| \begin{array}{c} y \\ z \end{array} \right. \end{cases} \tag{2.10}$$

Se hace una partición de \dot{x} como

$$\dot{x} = \begin{bmatrix} \dot{x}_1 \\ \dot{x}_2 \end{bmatrix} \begin{matrix} \left[\right] p \\ \left[\right] n-p \end{matrix}$$

entonces de (III.11) (del capítulo III),

$$\dot{x}_1 = \dot{y} \quad (2.11)$$

$$\dot{x}_1 = \left(A_{o22} + \sum_i u_i A_{i22} \right) \dot{x}_2 + \left(A_{o21} + \sum_i u_i A_{i21} \right) \dot{y} + B \dot{u}_2$$

El error $\dot{e} = \dot{z} - \dot{x}_2$ obedece

$$\begin{aligned} \dot{e} = \dot{z} - \dot{x}_2 &= \left(A_{o22} + \sum_i u_i A_{i22} \right) \dot{z} + \left(A_{o12} + \sum_i u_i A_{i12} \right) \dot{y} + B \dot{u}_2 \\ &\quad - \left(A_{o12} + \sum_i u_i A_{i12} \right) \dot{x}_2 - \left(A_{o21} + \sum_i u_i A_{i21} \right) \dot{y} - B \dot{u}_2 \end{aligned}$$

$$\dot{e} = (A_{022} + \sum_{i=1}^n u_i A_{i22}) e \quad (2.12)$$

De nuevo el error es independiente del término $B^T u$ y, por tanto, independientemente de $B^T u$. Entonces

$$\frac{d}{dt} (e^T P e) \leq -e^T Q e \quad (2.13)$$

de las condiciones (III.12) del teorema (capítulo III). Por tanto, $e(t)$ tiende a cero

$$\underline{w} - \underline{x} = \begin{matrix} -1 \\ T \\ p \end{matrix} \begin{vmatrix} y \\ z \end{vmatrix} - \underline{x} = \begin{matrix} -1 \\ T \\ p \end{matrix} \begin{vmatrix} \dot{x}_1 \\ \dot{x}_2 + e \end{vmatrix} = \begin{matrix} -1 \\ T \\ p \end{matrix} \begin{vmatrix} \dot{x}_1 \\ \dot{x}_2 \end{vmatrix} = \begin{matrix} -1 \\ T \\ p \end{matrix} \begin{vmatrix} Q \\ e \end{vmatrix}$$

Así, queda demostrado que \sum_0^n es un observador de orden mínimo para \sum_p .

APENDICE 3

VARIEDAD DIFERENCIABLE O SUAVE [41]

Definición 3.1

Un espacio localmente Euclidiano X de dimensión n es un espacio topológico tal que, para cada $p \in X$, existe un homeomorfismo ζ que mapea alguna vecindad abierta de p sobre un conjunto abierto R .

Definición 3.2

Una N Variedad de dimensión n es un espacio topológico que es localmente Euclidiano de dimensión n , es Hausdorff y tiene una base contable.

Una carta coordenada sobre una N variedad es un par (U, ζ) , donde U es un conjunto abierto de N y ζ un homeomorfismo de U sobre un conjunto abierto de R^n .

Definición 3.3

Serán N y M dos variedades suaves. Un mapeo $E : N \rightarrow M$ es un mapeo suave si para cada $p \in N$ existen cartas coordenadas (U, ζ) de N y (V, ξ) de M , con $p \in U$ y $E(p) \in V$, tales que la expresión de E en coordenadas locales es C^α .

SUBVARIETADES [41]

Definiciones 3.4

Sea $E : N \rightarrow M$ un mapa suave de variedades.

- i) E es una Inmersión si $\text{rango}(E) = \dim(N)$ para toda $p \in N$.
- ii) E es una Inmersión univalente si E es una Inmersión y es inyectiva.
- iii) E es un encajamiento si E es una Inmersión univalente y la topología inducida sobre $E(N)$ por la de N coincide con la topología de $F(N)$ como un subconjunto de M .

Definición 3.5

Una subvariedad inmersa de M es la imagen $E(N)$ de una Inmersión univalente. Una subvariedad de M es la imagen $E(N)$ de un encajamiento.

VECTORES TANGENTES [41]

Sea N una variedad de dimensión n . Se dice que una función real λ es suave en una vecindad de p , si el dominio de λ incluye un conjunto abierto U de N que contiene a p y la restricción de λ a U es una función suave. El conjunto de todas las funciones suaves es una vecindad de p se denota

como $C^\alpha(p)$, $C^\alpha(p)$ forma un espacio vectorial sobre el campo

\mathbb{R} ya que si λ, γ son funciones en $C^\alpha(p)$ ya, a, b son números reales, la función $a\lambda + b\gamma$ definida como:

$$(a\lambda + b\gamma)(g) = a\lambda(g) + b\gamma(g)$$

para todo g en una vecindad de p , es también una función en $C^\alpha(p)$. Dos funciones $\lambda, \gamma \in C^\alpha(p)$ pueden multiplicarse para dar otro elemento de $C^\alpha(p)$, escrito $\lambda \cdot \gamma$ y definido como:

$$(\lambda \cdot \gamma)(g) = \lambda(g) \cdot \gamma(g)$$

para toda g en una vecindad de p .

Definición 3.6

Un vector tangente v en \mathfrak{p} es un mapa $v : C^\alpha(\mathfrak{p}) \rightarrow \mathbb{R}$ con las propiedades siguientes:

- i) (linealidad) : $v(a\lambda + b\gamma) = av(\lambda) + bv(\gamma)$ para toda $\lambda, \gamma \in C^\alpha(\mathfrak{p})$ y $a, b \in \mathbb{R}$.
- ii) (regla de Leibnitz) : $v(\lambda\gamma) = \gamma(\mathfrak{p})v(\lambda) + \lambda(\mathfrak{p})v(\gamma)$ para toda $\lambda, \gamma \in C^\alpha(\mathfrak{p})$.

Definición 3.7

Sea N una variedad suave. El espacio tangente a N en \mathfrak{p} , escrito como $T_{\mathfrak{p}}N$, es el conjunto de todos los vectores tangentes, en \mathfrak{g} .

CAMPO VECTORIAL [41]

Definición 3.8

Sea M una variedad diferenciable C^α (o analítica). Un campo f sobre M es una función que asigna a cada elemento $x \in M$, un vector $f(x) \in T_x M$ es el espacio tangente a M en x .

DISTRIBUCIONES INVARIANTES [41]

Definición 3.9

Una distribución Δ sobre M es una aplicación que asocia a cada $x \in M$ un subespacio $\Delta(x)$ del espacio tangente $T_x M$. Se

dice que cada distribución Δ es de clase C^α (o analítica) si existe una vecindad U de cada punto $x \in M$ y r campos

vectoriales de clase C^α denotados como τ_1, \dots, τ_r , que tienen la propiedad siguiente:

- Para todo $z \in U$, $\Delta(z)$ es el subespacio de $T_z M$ generado por los vectores $\tau_1(z), \dots, \tau_r(z)$.

Se dice que una distribución $\underline{\tau}_1, \dots, \underline{\tau}_r$ de rango K si, para toda $\underline{x} \in M$, $\dim \Delta(\underline{x}) = K$.

Se dice que un campo vectorial $\tau \in X(M)$ (conjunto de campos vectoriales definidos sobre M) pertenece a Δ , escribiéndose $\tau \in \Delta$, si para toda $\underline{x} \in M$ se tiene que $\tau(\underline{x}) \in \Delta(\underline{x})$.

Definición 3.10

Sea los r campos vectoriales $\underline{f}_1, \dots, \underline{f}_r$ sobre M . Se dice una distribución Δ es invariante en relación a $\underline{f}_1, \dots, \underline{f}_r$ si se tiene que:

$$\underline{\tau} \in \Delta \Rightarrow \{ \underline{f}_i, \underline{\tau} \} \in \Delta, \quad (i = 1, \dots, r)$$

Se dice que una distribución es involutiva si, dados dos campos vectoriales $\tau_1 \in \Delta, \tau_2 \in \Delta$, se tiene que $[\tau_1, \tau_2] \in \Delta$, donde $[\tau_1, \tau_2]$ denota la operación paréntesis de Lie de dos campos vectoriales.

Sea Δ_0 una distribución dada. Una distribución que contenga a Δ_0 que es invariante con respecto a los campos vectoriales f_1, \dots, f_r , denota como Δ_m , se dice que es mínima, si está contenida en otra distribución que contenga a Δ_0 y que es invariante con respecto a los mismos campos vectoriales.

Una distribución Δ es regular si es involutiva, de rango constante y hace una partición de M en subvariedades encajadas regularmente donde el cociente admite una estructura C^α tal que la proyección canónica es una submersión.

PARENTESIS DE LIE [42]

Definición 3.11

Sean f_1 y f_2 dos campos vectoriales, la operación paréntesis de Lie se define como:

$$[f_2, f_1] = (\delta f_2 / \delta x) f_1 - (\delta f_1 / \delta x) f_2$$

BIBLIOGRAFIA

- (1) SHINSKEY F.G.
"Process control systems"
2a. Edición, McGraw Hill, 1977
- (2) HARRIOT P.
"Process control"
McGraw Hill, 1964
- (3) LUYBEN W.L.
"Process modeling simulation, and control
for chemical engineers"
McGraw Hill, 1973
- (4) BRISTOL T.M.
"On a new measure of interaction for
multivariable process control"
IEEE TAC, AC-11, 1966
- (5) TAKAMATSU T., HASHIMOTO J.
"A geometric approach to multivariable
control. System design for distillation
column"
Automatica, vol. 15, 1979
- (6) WONHAM W.M.
"Linear multivariable control, a geometric
approach"
Applications on Mathematics, vol. 10,
Springer Verlag, 1979

- (7) GAUTHIER J.P., BRONARD G.
"Reject des perturbations pour un modèle
non linéaire de colonne à distiller"
Belle-île Congress, Belle, île, France, 1982
- (8) ISIDORI A., KRENER A.
"Nonlinear decoupling via feedback: A
differential geometric approach"
IEEE TAC, AC-29, 1981
- (9) FUNAHASHI Y.
"Stable state estimator for bilinear systems"
Int. J. Control, vol. 29, 1979
- (10) HERMAN R., KRENER A.
"Nonlinear controllability and
observability"
IEEE TAC, AC-22, 1977
- (11) KUO S.R., ELLIOT D.L., TARN T.S.
"Exponential observers for nonlinear
dynamic systems"
Inform. Contr., vol. 29, 1975
- (12) HARA S., FURUTA K.
"Minimal order state observers for bilinear
systems"
Int. J. Control, vol. 24, 1976
- (13) Williamson D.
"Observation of bilinear systems with
application to biological control"
Automatica, vol. 13, 1977

- (14) HSU C.S., KARANAM V.R.
"On the observer design of bilinear systems"
- (15) KRENER A., ISIDORI A.
"Linearization by output injection and nonlinear observer"
Systems and control letters, vol. 3, 1983
- (16) BESTLE D., ZEITZ M.
"Canonical form observer design for nonlinear time variable systems"
Int. J. Control, vol. 38, 1983
- (17) VAN WINKLE M.
"Distillation"
Mc Graw Hill, Chemical Engineering Series, 1973
- (18) FOULARD C., BORNARD G.
"Identification and system parameter estimation of distillation processes"
Nota Interna, LAG-INP, (France), 1973
- (19) HOLLAND CH.D.
"Multicomponent distillation"
Prentice Hall Inc., 1963
- (20) ESPAÑA M.
"Modélisation bilinéaire de colonnes à distiller"
Thèse de Docteur Ingénieur, INPG, (France), 1977

- (21) **ALVAREZ G.J.**
"Modelización de columnas de destilación binarias"
IPN, Ing. Eléctrica. Reporte Interno 1983
- (22) **LINARES L.R.**
"Simuladores de formación profesional. Aplicación a un proceso de destilación binario"
Tesis de maestro en ciencias, IPN, 1982
- (23) **TORRES M.J.A.**
"Control multivariable no lineal de una columna de destilación binaria"
Tesis de maestro en ciencias. IPN, 1985
- (24) **PARRAUD A.**
"Theorie et pratique des méthodes en programmation non linéaire"
Nota Interna, LAG-INPG, Francia, 1976
- (25) **SAGE M.**
"System Identification"
Academic Press, 1971
- (26) **TOLEDO B.C.**
"Modelización, identificación y control bilineal de una columna de destilación binaria"
Tesis de maestro en ciencias. IPN, 1985

- (27) ALVAREZ J., CASTRO R.
"Introducción al estudio de sistemas no lineales por medio de la geometría diferencial"
Nota Interna. IPN, 1984
- (28) ISIDORI A.
"Direct construction of minimal bilinear realizations from nonlinear input - output maps"
IEEE TAC, AC-18, 1973
- (29) KAILATH T.
"Linear Systems"
Prentice Hall, 1980
- (30) LUENBERGER D.G.
"Observing the state of a linear system"
IEEE TME, MIL-8, 1964
- (31) LUENBERGER D.G.
"Observers for multivariable systems"
IEEE TME, AC-11, 1966
- (32) LUENBERGER D.G.
"An introduction to observers"
IEEE TAC, AC-16, 1971
- (33) PATEL R., MUNRO N.
"Multivariable system theory and design"
Pergamon Press, vol. 4, 1982

- (34) MOOG C.H., GLUMINEAU A.
"Le problème de reject des perturbations mesurable dans les systèmes non linéaire. Aplication a l'amarrage en un seul point des grands pétroliers"
Belle-île Congress, Belle-île, France, 1982
- (35) HIRSCHORN R.M.
"(A, B) - invariant distributions and disturbance decoupling of nonlinear systems"
SIAM J. on Control and Optimization, vol. 19, 1981
- (36) ISIDORI A.
"Disturbance decoupling and noninteracting control"
Nonlinear Control Systems: An Introduction, Lectures Notes and Information Sciences, vol. 72. Springer Verlag, Berlin, 1985
- (37) ISIDORI A.
"Exact Linearization Methods"
"Nonlinear Control Systems: An Introduction, Lectures Notes and Information Sciences, vol. 72, Springer Verlag, Berlin, 1985
- (38) MARINO R., NICOSIA S.
"Linear - model following control and feedback equivalence to linear controllable systems"
Int. J. Control, vol. 39, 1984

- (39) LEVINE J., ROUCHON P.
"Disturbances rejection and integral control of aggregated nonlinear distillation models"
7th. International Conference on Analysis and Optimization of Systems, Antibes, France, 1986
- (40) ALVAREZ J., CASTILLO B., CASTRO R.
"Nonlinear state space estimation and control of a binary distillation column"
International Simposium of Applications In control of a binary distillation column"
Identification from IASTED. Los Angeles, Cal., U.S.A., 1986
- (41) ALVAREZ J., CASTRO R.
"El problema de desacoplamiento a perturbaciones, singularidades y seguimiento aproximado en una columna de destilación"
Reporte tecnico. IPN, 1986
- (42) ALVAREZ J., CASTRO R.
"Introducción a sistemas dinámicos: un enfoque geométrico"
Texto. IPN, 1985
- (43) GRASSELLI D.M., ISIDORI A.
"An existence theorem for observers of bilinear systems"
IEEE TAC, AC-26, 1981